

Uma breve história do *spin*

Francisco Caruso;¹ *Vitor Oguri*²

¹ Centro Brasileiro de Pesquisas Físicas, Coordenação de Física de Altas Energias, 22290-180, Rio de Janeiro, RJ, Brazil.

² Universidade do Estado do Rio de Janeiro, Instituto de Física Armando Dias Tavares, 20550-900, Rio de Janeiro, RJ, Brasil.

Resumo

Faz-se uma análise de alguns pontos históricos envolvidos na consolidação do conceito teórico de *spin*, introduzido originalmente para explicar a estrutura dos espectros atômicos na ausência e na presença de campos eletromagnéticos, em 1925, pelos físicos holandeses Samuel Abraham Goudsmit e George Eugene Uhlenbeck. Reitera-se sua relevância no âmbito da descrição quântica da matéria.

Palavras-chave: Spin; Mecânica Quântica; Física Atômica; História da Física.

Abstract

A brief analysis is made of some historical points involved in the consolidation of the theoretical concept of *spin*, originally introduced to explain the structure of atomic spectra in the absence and presence of electromagnetic fields, in 1925, by Dutch physicists Samuel Abraham Goudsmit and George Eugene Uhlenbeck. Its relevance in the context of the quantum description of matter is reiterated.

Keywords: Spin; Quantum Mechanics; Atomic Physics; History of Physics.

1 Introdução

Foi há pouco mais de cinquenta anos que George Uhlenbeck e eu introduzimos o conceito de spin [...]. Portanto, não é surpreendente que a maioria dos jovens físicos não saiba que o spin teve que ser introduzido. Eles acham que ele foi revelado no Gênesis ou talvez postulado por Sir Isaac Newton, o que a maioria dos jovens físicos considera ser eventos mais ou menos simultâneos.

Samuel A. Goudsmit
discurso, em 1976 na
American Physical Society

O surgimento do conceito de *spin* se entrelaça com o da própria Mecânica Quântica, ambos introduzidos há cerca de 100 anos, em 1925. O *spin*, assim como tantas outras grandezas associadas aos sistemas físicos e incorporadas à Mecânica Quântica, surge a partir de analogias com grandezas definidas no contexto da Mecânica e do Eletromagnetismo Clássicos. O resultado prático é que as duas teorias que revolucionaram a Física no século XX, tanto a Relatividade Restrita quanto a Mecânica Quântica, são dotadas de estruturas formais condicionadas por essas teorias clássicas, por meio de correspondências estabelecidas para a forma e a expressão de seus conceitos, grandezas e princípios. Esse procedimento mascarou e postergou várias questões de cunho interpretativo, e muitas controvérsias originadas nessa época ainda perduram. No entanto, apesar de seu caráter não comprobatório, as analogias são frutíferas. O caso do *spin* não foi exceção.

Na Mecânica Clássica, o momento angular está associado às principais características do movimento dos planetas sob a ação do campo central gravitacional do Sol. Esta mesma grandeza desempenha um papel análogo na análise dos sistemas atômicos, nos quais os elétrons se movem sob a ação do campo elétrico central coulombiano dos núcleos. Assim como o planeta possui um momento angular orbital em relação ao Sol e um momento angular próprio, em relação ao seu centro de massa, o elétron, em um átomo, além do momento angular orbital em relação ao núcleo, apresenta também um momento angular próprio, mas que, ao contrário do caso planetário, não está associado a qual-

quer movimento do elétron, sendo chamado de *momento angular intrínseco* ou *spin*.

Apesar da analogia, a denominação de momento intrínseco, em vez de *spin*, talvez fosse mais adequada para afastar qualquer tentativa de associá-lo ao movimento de rotação como se o elétron fosse um corpo extenso. Isto porque, até o limite experimental de hoje, que corresponde a distâncias da ordem de 10^{-18} cm, o elétron não possui estrutura, ou seja, não é uma partícula composta e, portanto, praticamente, não tem dimensão. Diferentemente do momento angular orbital, que depende das interações do elétron com o núcleo ou qualquer campo externo, o *spin* não depende das condições externas impostas ao elétron; é um atributo intrínseco, como a massa e a carga elétrica.

A necessidade desse conceito surge na espectroscopia atômica, cujos resultados eram explicados com base em modelos atômicos planetários, levando os proponentes do conceito a utilizarem dessa analogia para estabelecê-lo. O termo *spin* está tão arraigado no jargão da Física, que qualquer tentativa para erradicá-lo seria tão inútil como propor não usar mais o termo *átomo* para objetos que hoje são notadamente divisíveis.

No domínio das interações fundamentais eletromagnéticas, fracas e fortes, cujos processos são descritos por teorias quânticas, além das três variáveis independentes associadas às coordenadas espaciais de uma partícula, ou às componentes de seu *momentum* linear, diz-se que o elétron, ou qualquer outra partícula elementar do Modelo Padrão da Física de Partículas, possui um novo grau de liberdade, associado a uma nova grandeza ou propriedade intrínseca, o *spin*.

De um ponto de vista mais fundamental, tanto na Mecânica Clássica como na Quântica, devido à hipótese da isotropia espacial, segundo a qual as propriedades do espaço são as mesmas em qualquer direção, há uma estreita ligação formal entre o momento angular, seja orbital ou de *spin*, e o grupo das rotações. A sobrevivência das designações de grandezas baseadas em modelos mecânicos resulta da conexão, de caráter geral, entre essas grandezas e as simetrias associadas a um sistema, que permitem a generalização de vários conceitos originários da Física

Clássica, como o *momentum*, o momento angular e a energia.

Pelo fato de o *spin* não estar associado diretamente às coordenadas espaciais de uma partícula, os métodos matemáticos que caracterizam e descrevem as interações das partículas que envolvem o *spin* no domínio não relativístico são, num certo sentido, bem mais simples do que aqueles que descrevem os processos que envolvem grandezas associadas às coordenadas espaciais. Em lugar de equações diferenciais definidas em um espaço de funções de dimensão infinita, em muitos casos, principalmente, envolvendo elétrons, utilizam-se equações em espaços de dimensão finita, de dimensão 2, envolvendo matrizes (2×2) e (2×1) .

Mais recentemente, devido à facilidade de abordagem matemática – apesar de mais abstrata – e o interesse em tópicos que se tornaram importantes ao final do século XX, como o fato de duas ou mais partículas poderem estar de tal forma conectadas, que o estado de uma não possa ser descrito independentemente do estado das outras, mesmo que estejam espacialmente separadas por milhões de anos-luz, existe uma tendência de se iniciar o estudo da Mecânica Quântica, a partir da definição e propriedades do *spin* do elétron. Não cabe aqui um posicionamento sobre esta escolha, mas apenas destacar que a existência dessa correlação exibida por certos tipos de composição de estados de sistemas distintos, denominados *emaranhados quânticos*, além de fundamental no processo de investigação de diferentes interpretações da Mecânica Quântica, é a base para novas aplicações tecnológicas, como a Computação e a Criptografia Quântica.

No entanto, a necessidade de se atribuir, em um primeiro momento somente ao elétron, esse novo grau de liberdade, surge como decorrência da análise dos fenômenos atômicos, e da interpretação dos espectros dos metais alcalinos,¹ sob a ação de campos magnéticos.

A história do *spin* se inicia com a descoberta da multiplicidade dos termos espectrais devido

¹ São os elementos químicos do grupo 1 da Tabela Periódica: lítio (Li), sódio (Na), potássio (K), rubídio (Rb) e célio (Cs), excetuando-se o hidrogênio (H), e possuem um único elétron de valência.

ao efeito Zeeman anômalo, no período de 1923–1925, da qual, como frequentemente acontece com a criação e introdução de novos conceitos em qualquer ramo da ciência, resultaram acaloradas discussões e disputas sobre a prioridade de ideias, segundo os próprios autores do artigo que, pela primeira vez, introduziu o conceito de *spin* do elétron no contexto da espectroscopia atômica. As interpretações dos espectros observados, como já antecipado, eram baseadas nas teorias de Bohr e Sommerfeld e em algumas regras empiricamente estabelecidas por pesquisadores, principalmente, da Alemanha, Suécia, Suíça e Holanda. Não havia ainda uma teoria quântica baseada em primeiros princípios ou equações gerais, sem hipóteses *ad hoc*.

A primeira versão da Mecânica Quântica – na sua formulação matricial –, apresentada por Werner Heisenberg, Max Born e Pascual Jordan, surgiu também no mesmo ano da proposta do conceito de *spin* do elétron, há 100 anos, em 1925, por Samuel Goudsmit e George Uhlenbeck. Pouco tempo depois, em 1926, a versão que se tornou mais difundida – a formulação ondulatória –, foi publicada por Erwin Schrödinger. Ambas as versões não levam em conta a Relatividade Restrita.

2 Os primórdios da espectroscopia atômica

O problema do átomo seria resolvido se os físicos aprendessem a compreender a linguagem dos espectros.

Arnold J.H. Sommerfeld (1919)

Apesar de os experimentos de espalhamento de feixes de partículas pela matéria, realizados no período de 1909–1911, sob a liderança de Ernest Rutherford, terem sido determinantes no estabelecimento da estrutura dos átomos, pode-se traçar também a origem de muitas das propriedades e ideias sobre a estrutura atômica às investigações realizadas ao final do século XIX, entre 1855 e 1863, por Robert Bunsen e Gustav Kirchhoff, ao observarem a luz emitida por diversas substâncias, associadas a elementos químicos distintos, quando aquecidas pelo famoso bico de Bunsen. Nessas observações, a luz emi-

tida incide sobre um prisma e, então, é dispersada de tal modo que as componentes de diferentes cores – correspondendo a diferentes frequências, ou comprimentos de onda – são refratadas em diferentes ângulos (Figura 1).

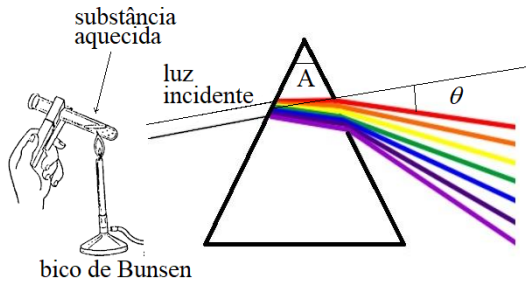


Figura 1: Dispersão da luz por um prisma.

Se os raios difratados são interceptados por um anteparo, como a lente de uma luneta que tem uma escala milimetrada, observa-se, no caso de gases ou vapores contendo, por exemplo, os elementos hidrogênio, mercúrio ou sódio, um padrão de linhas luminosas de várias cores, como mostrado na Figura 2 para o hidrogênio. Cada uma dessas linhas está associada a um comprimento de onda (λ), ou a uma frequência (ν), que pode ser determinado pelo ângulo (θ) entre a direção do feixe de luz incidente no prisma e a direção do raio emergente correspondente (Figura 1).² Esse conjunto de linhas é chamado *espectro do elemento químico*,³ e cada elemento está associado a um conjunto de linhas espectrais característico, como se fosse uma espécie de “impressão digital”, única para cada elemento.

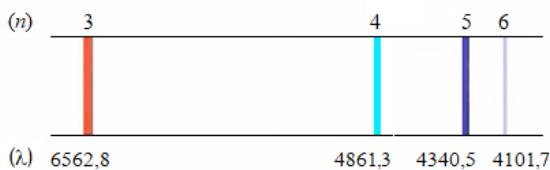


Figura 2: Espectro do átomo de hidrogênio na faixa visível, de frequências da ordem de 10^{15} Hz. Os comprimentos de onda (λ) estão expressos em angstrom (Å), sendo $1 \text{ Å} = 10^{-8} \text{ m}$.

² Esse ângulo (θ) depende da abertura angular (A) do prisma, e do índice de refração associado ao respectivo comprimento de onda.

³ Em geral as substâncias exibem linhas espectrais, devidas aos átomos, e regiões onde a radiação está distribuída continuamente – bandas espectrais – tendo como origem as moléculas.

De particular importância no desenvolvimento da Física Atômica foi a caracterização do espectro de linhas mais simples, correspondente também ao átomo mais simples – o átomo de hidrogênio. O espectro do hidrogênio (Figura 2) foi observado por Anders Ångström, em 1853, e sua regularidade, matematizada por Johann Balmer, cerca de trinta anos depois, em 1885. Baseando-se nas medidas de Ångström, Balmer encontra uma expressão capaz de reproduzir os comprimentos de onda de cada linha do espectro observado. A fórmula foi escrita de forma mais sugestiva por Johannes Rydberg, em 1888, como

$$\frac{1}{\lambda} = R_H \left(\frac{1}{2^2} - \frac{1}{n^2} \right) \quad (n = 3, 4, 5, 6) \quad (1)$$

sendo o comprimento de onda (λ) expresso em metros, e $R_H \simeq 1,097 \times 10^7 \text{ m}^{-1}$, a constante de Rydberg.⁴

Posteriormente, outros conjuntos de séries de linhas espectrais associadas ao hidrogênio, em regiões não visíveis, do infravermelho e do ultravioleta, foram observadas e descritas por uma generalização da fórmula de Balmer. Expressa em termos da frequência por Walter Ritz, em 1908, cada frequência do espectro da radiação emitida, ou termo espectral, é dada por⁵

$$\nu_{mn} = c R_H \left(\frac{1}{m^2} - \frac{1}{n^2} \right) \quad (2)$$

em que $n > m = 1, 2, 3, 4, 5$ e $c \simeq 3,0 \times 10^8 \text{ m/s}$ é a velocidade da luz no vácuo,⁶ e ν_{mn} é a frequência da radiação eletromagnética emitida associada a cada linha espectral, em hertz (Hz).

A equação (2) é igualmente válida para os metais alcalinos, com a respectiva constante de Rydberg e, apesar da generalização, continuava sendo um resultado empírico, não explicado nem pela Mecânica Clássica nem pelo Eletromagnetismo. A primeira explanação compatível com os dados ocorreu somente em 1913, com Niels Bohr (Seção 4), mas antes, porém, deve-se recordar alguns aspectos do efeito Zeeman e da descoberta do elétron, ainda no final do século XIX.

⁴ O valor recomendado pelo *Committee on Data for Science and Technology* (CODATA), em 2022, é $10973731,568157(12) \text{ m}^{-1}$.

⁵ Estritamente, a fórmula é válida apenas para propagação da luz no vácuo.

⁶ $c = 299792458 \text{ m/s}$ – CODATA (2022).

3 A gênese – o ano de 1897: o efeito Zeeman e a descoberta do elétron

A natureza nos presenteia com surpresas, incluindo a do Prof. Lorentz. Rapidamente descobrimos que existem muitas exceções à regra de dividir as raias apenas em tripletos.

Pieter Zeeman

Desde 1886, Pieter Zeeman, à época assistente de Hendrik Lorentz, vinha tentando, sem sucesso, detectar a influência do campo magnético no espectro do sódio (Na), mesmo após as tentativas malogradas de Faraday, em 1862, de observar a alteração do espectro luminoso por um campo magnético. Sabendo-se que a luz, de qualquer origem, não interage com o campo magnético, é preciso supor que este campo atue sobre o movimento das partículas carregadas, no interior da matéria, responsáveis pela emissão, alterando sua frequência e conseqüentemente a da luz do espectro. Com essa expectativa, finalmente, em 1897 [1], já utilizando redes de difração de Rowland com cerca de 600 linhas/mm no lugar de prismas, e campos magnéticos mais intensos – da ordem de 1 tesla (T) – obtidos com bobinas de Ruhmkorff, observa o alargamento de uma linha espectral do sódio (Na) e, posteriormente, o desdobramento de uma linha do cádmio (Cd), sob a ação do campo.

A primeira tentativa para elucidar esse tipo de observação de Zeeman, baseou-se na hipótese de Lorentz de que todos os corpos são constituídos por partículas eletricamente carregadas – *os íons* –,⁷ e que a luz emitida pelos elementos tem sua origem no movimento periódico desses “íons”, ou seja, que a frequência da luz emitida seria igual a frequência (ω) do movimento da partícula. Durante muitos anos, a maioria (para não dizer a totalidade) dos físicos endossou esse erro, até o esclarecimento oferecido por Bohr.

⁷ Para Lorentz, existiriam íons com carga positiva e íons com carga negativa, tal que em um dielétrico, os íons negativos poderiam oscilar em relação às suas posições de equilíbrio, e todos os processos eletromagnéticos de interação da luz com a matéria poderiam ser analisados a partir dessa hipótese, a qual ele já havia utilizado para a explicação da dispersão da luz por dielétricos.

Fundamentando-se na Mecânica Clássica, e considerando que sob a ação de um campo magnético (\vec{B}) um “íon” de carga q e velocidade orbital \vec{v} sofreria a ação de uma força $\vec{F} = q\vec{v} \times \vec{B}$,⁸ Lorentz estima que a variação da frequência do movimento ($\Delta\omega$) seria dada por

$$\Delta\omega = \pm \frac{q}{2m} B$$

conforme o sentido do movimento, sendo m a massa da partícula.⁹

A partir do desdobramento das linhas espectrais,¹⁰ correspondentes a frequências da ordem de 10^{11} Hz, em concordância com as estimativas de Lorentz, além de inferir que as partículas responsáveis pela emissão da luz tinham carga negativa, Zeeman estimou a razão carga/massa (q/m) como da ordem de 10^8 C/g (coulomb/grama). Sendo cerca de 1 800 vezes maior que razão carga/massa dos íons de hidrogênio, determinada pela eletrólise.

Apesar das observações e das estimativas pioneiras de Zeeman, as primeiras fotografias do desdobramento das linhas espectrais foram obtidas por Thomas Preston [2], em Dublin, também ao final do ano de 1897, ao refazer experimentos análogos ao de Zeeman (Figura 3) com um campo magnético mais intenso, da ordem de 2,0 T, obtendo um valor compatível com o de Zeeman para a relação carga/massa.

No entanto, conforme exemplificado na Figura 3, ao passo que as observações de Preston com relação às linhas associadas aos comprimentos de onda, na faixa do azul, de 4680 Å para o zinco, e de 4678 Å para o cádmio, concordavam com as observações de Zeeman, ao exibir um desdobramento em três linhas, aquelas correspondentes a 4722 Å para o zinco, e a 4800 Å para o cádmio, desdobravam-se em mais do que três linhas, não concordando com as previsões calcadas na teoria de Lorentz.

⁸ Expressa no Sistema Internacional de Unidades (SI). Essa força, posteriormente, foi chamada de *força de Lorentz*.

⁹ Esse resultado pressupunha que o campo magnético fosse perpendicular ao plano do movimento da partícula.

¹⁰ A observação do desdobramento depende da direção, em relação ao campo magnético, segundo a qual se observa a luz emitida. Se a linha de visada é perpendicular ao campo observa-se o desdobramento em três novas linhas espectrais e, se paralela ao campo, observa-se o aparecimento em apenas duas linhas.

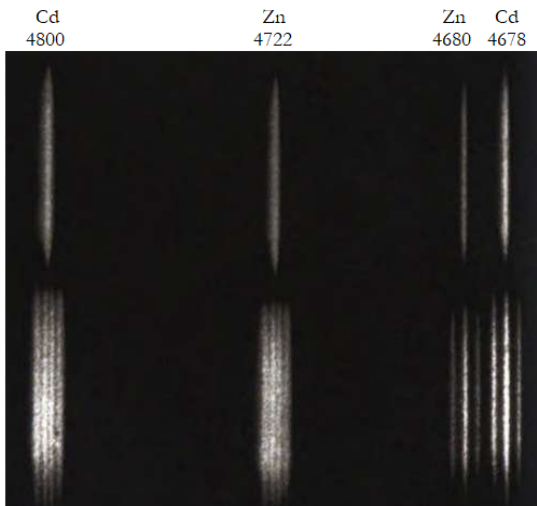


Figura 3: As primeiras imagens dos desdobramentos das linhas espectrais, do zinco (Zn) e do cádmio (Cd), apresentadas por Preston [2]. Sem a presença do campo (parte superior) e sob a ação do campo magnético (parte inferior). As linhas sem a presença do campo são identificadas pelos comprimentos de onda da luz emitida, expressos em angstroms.

Os resultados que se manifestavam como duas ou três linhas – os *dubletos* e *tripletos* – tornaram-se conhecidos como *efeito Zeeman normal*, e os novos resultados revelados por Preston, que apresentavam mais do que três linhas – os *multipletos* –, receberam o nome de *efeito Zeeman anômalo*, apesar de se revelarem mais frequentes que os dubletos e tripletos de Lorentz. A manifestação desses multipletos só seria esclarecida com o conceito de *spin* do elétron.

No mesmo ano de 1897, Joseph Larmor [3] apresenta uma nova interpretação para o efeito Zeeman. Segundo Larmor, o efeito de um campo magnético (B) seria o de superpor à oscilação natural do “íon de Lorentz” a frequência dada por $(q/2m)B$, como consequência das oscilações das componentes do momento angular da partícula perpendiculares ao campo, independentemente da orientação do plano de movimento em relação ao campo. Essa frequência passa a ser denominada *frequência de Larmor* (ω_L), e as oscilações das componentes do momento angular, *precessão de Larmor* (Apêndice A).

Enquanto a medida da razão carga/massa, a partir do efeito Zeeman normal, foi o primeiro indício da existência de uma das partículas ele-

mentares do Modelo Padrão da Física de Partículas – o *elétron* –, a descoberta do efeito Zeeman anômalo por Preston foi a primeira evidência de manifestação do *spin* do elétron.

A outra evidência da existência do elétron, a qual é creditada como sua descoberta, foi estabelecida também em 1897. Joseph Thomson, no laboratório Cavendish de Cambridge, já conhecendo que os raios catódicos eram feixes de partículas negativamente carregadas, a partir da deflexão desses feixes sob a ação combinada de campos elétricos e magnéticos, determinou que a razão carga-massa das partículas constituintes dos raios catódico era da mesma ordem de grandeza do valor obtido por Zeeman, independentemente da natureza do catodo. Essas partículas também adquiriam velocidades da ordem de $1/4$ da velocidade da luz no vácuo, muitos maiores do que a adquirida por qualquer outro corpo, indicando que suas massas eram bem menores do que a dos íons de hidrogênio.

A partir dos resultados dos experimentos de Zeeman e Thomson, e dos trabalhos teóricos de Larmor, os “íons negativos” de Lorentz vieram a ser identificados como elétrons [4].

4 O átomo físico de Rutherford e Bohr

Deve haver qualquer coisa por trás de tudo isso [do modelo de Bohr]. Não acredito que o valor da constante de Rydberg possa ser obtido corretamente por acaso.

Albert Einstein

Ao final do século XIX, e início do século XX, apesar dos avanços nos estudos sobre o espectro dos elementos químicos, e da consolidação da hipótese atômica da matéria, pouco se sabia sobre a estrutura dos átomos, ou seja, ainda não havia um modelo atômico físico. Após a descoberta do elétron, o próprio Thomson propõe um modelo no qual o átomo era constituído de elétrons em movimento, em um substrato com carga elétrica positiva uniformemente distribuída em um volume esférico. No entanto, confrontado em uma série de experimentos realizados por Hans Geiger e Ernest Marsden, nos

laboratórios de Manchester, sob a supervisão de Ernest Rutherford, não se mostrou compatível com os resultados. Esses experimentos consistiram no espalhamento de feixes de partículas α por folhas finas de vários materiais, como o ouro (Au) e a prata (Ag), e foram determinantes para o embasamento do conceito físico de átomo.

A grande contradição revelada pelos resultados experimentais de Geiger e Marsden, com as previsões baseadas no modelo de Thomson, foram as frequentes ocorrências de grandes desvios dos feixes em relação à direção de incidência. Em 1911, Rutherford [5], a partir da análise da distribuição angular desses espalhamentos, estabelece que os resultados derivavam da hipótese de que os átomos eram sistemas constituídos por uma distribuição de carga Ze , praticamente pontual,¹¹ rodeada por um número Z de elétrons de modo a anular a carga central. Estava descoberta a estrutura nuclear do átomo.

O próximo passo, que permite relacionar os resultados da espectroscopia com a estrutura atômica, é dado por Niels Bohr [6], em 1913, após passar o ano de 1912 com o grupo de Rutherford, em seu laboratório em Manchester. Mesmo após ter levado à descoberta do núcleo atômico e à proposta de um modelo para o átomo, o programa de pesquisa de Rutherford, ou seja, do grupo de Manchester, não envolvia a espectroscopia atômica, nem a preocupação com a estabilidade dos modelos atômicos; estava voltado para o fenômeno da radioatividade; para o estudo dos núcleos dos átomos.

Bohr, afastando-se deste programa e, aparentemente, sem preocupação com a espectroscopia, tenta encontrar uma solução para a suposta instabilidade de um modelo atômico do tipo planetário, proposto por Rutherford. Segundo Larmor [3], o movimento de uma partícula com carga elétrica, como o elétron, ao redor de um centro de forças seria instável, pois a partícula perderia energia emitindo radiação eletromagnética.¹²

¹¹ Considerando o raio do átomo da ordem de 10^{-10} m, Rutherford estima que a dimensão dessa pequena região seria menor que 10^{-14} m. Sabe-se hoje que é da ordem de 10^{-15} m, ou seja, da ordem de 100 000 vezes menor que o átomo, aproximadamente, na mesma proporção de um grão de arroz e um campo de futebol.

¹² Apesar do átomo ser um sistema constituído por um núcleo eletricamente carregado e elétrons, e não apenas

Por essa época, desde 1900, já era do conhecimento a hipótese de Max Planck, de que, no fenômeno da Radiação de Corpo Negro, a troca de energia entre os constituintes de um corpo e cada componente monocromática da radiação, emitida ou absorvida, só poderia ser um múltiplo da frequência (ν), sendo o valor mínimo dessa troca de energia igual a $h\nu$, e a constante que caracteriza a chamada *quantização da energia*,

$$h = 6,626\,070\,15 \times 10^{-34} \text{ J}\cdot\text{s}$$

denominada *constante de Planck*.¹³

Admitindo que o átomo não irradia espontaneamente, utilizando-se da relação entre a energia e a frequência estabelecida pela Mecânica Clássica para o movimento em órbita elíptica de uma partícula, de massa m e carga elétrica negativa ($-e$), sob a ação de uma força central elétrica coulombiana, e de um outro argumento arbitrário,¹⁴ sobre a relação entre a energia, a frequência do movimento e a constante de Planck, Bohr estabelece que:

- (i) um átomo pode existir em determinados *estados estacionários* (órbitas estáveis), associados a níveis discretos de energia, cujos valores, para o átomo de hidrogênio, são dados por

$$\begin{aligned} E_n &= - \left(\frac{m_e e^4}{8 \varepsilon_0^2 h^2} \right) \left(\frac{1}{n^2} \right) \text{ (SI)} \\ &= -13,6 \left(\frac{1}{n^2} \right) \text{ (eV)} \end{aligned}$$

sendo $n = 1, 2, 3, \dots$, $m_e \simeq 9,11 \times 10^{-31}$ kg a massa do elétron, e $\varepsilon_0 = 8,85 \times 10^{-12}$ F/m,

de elétrons.

¹³ Sendo uma das constantes fundamentais da Física, segundo a última reunião do CODATA (2022), a constante de Planck (h), a velocidade da luz no vácuo (c), a constante de Boltzmann (k), a carga elementar (e) e a aceleração padrão da gravidade (g_n) são constantes definidas, portanto, sem incertezas associadas.

¹⁴ *A posteriori*, tudo indica que, possivelmente, esse argumento, a partir do qual Bohr introduz a quantização da energia no átomo de hidrogênio, baseou-se na fórmula de Balmer, após ele tomar ciência dos trabalhos de Rydberg. Dessa consideração, entretanto, decorre a conclusão original de que a frequência da luz emitida ou absorvida por um átomo *não era* a frequência do movimento do elétron, hipótese que vai de encontro às hipóteses anteriores sobre os modelos atômicos. Este foi um passo decisivo para a futura compreensão do átomo.

a permissividade elétrica do vácuo;¹⁵

- (ii) a emissão (ou absorção) de radiação eletromagnética só ocorre durante a transição entre dois estados estacionários, de níveis de energias E_m e E_n , sendo a frequência (ν) da radiação emitida (ou absorvida) dada por

$$\nu = \frac{|E_m - E_n|}{h}.$$

Comparando a previsão da frequência da luz emitida por um átomo de hidrogênio com a fórmula generalizada de Balmer, Bohr determina que a constante de Rydberg pode ser calculada por

$$R_H = \frac{m_e e^4}{8 \epsilon_0^2 h^3 c} \simeq 1,09 \times 10^7 \text{ m}^{-1}$$

O modelo atômico de Bohr teve um grande impacto na espectroscopia. Nas palavras de Einstein:

Então a frequência da luz não depende em nada da frequência [do movimento] do elétron ... Isto é uma conquista enorme!

Sua expressão para a energia é válida para uma ampla classe de átomos; os chamados átomos hidrogenóides, aqueles com um único elétron de valência, como os metais alcalinos (grupo I), os íons de metais alcalinoterrosos (grupo II), - Ca^+ , Sr^+ , ..., - e íons com o He^+ , Li^{++} e Be^{+++} , e quaisquer de seus isótopos.¹⁶

A partir de então, passa a haver uma intensa atividade na espectroscopia atômica. A procura de um melhor entendimento da estrutura atômica vai levar, por fim, à necessidade de se propor o *spin*.

¹⁵ $m_e = 9,109\,383\,713\,9(28) \times 10^{-31} \text{ kg}$ e $\epsilon_0 = 8,854\,187\,818\,8(14) \times 10^{-12} \text{ F/m}$ - CODATA (2022).

¹⁶ Nesses casos, faz-se a substituição $e^2 \rightarrow Ze^2$, em que Z é o número atômico, na constante de Rydberg, ou na expressão da energia.

5 A compreensão da estrutura fina das linhas espectrais por Sommerfeld e a experiência de Stern-Gerlach

Todas as leis integrais das linhas espectrais e da teoria atômica emanam originalmente da teoria quântica. É o misterioso órgão no qual a Natureza toca sua música dos espectros e, de acordo com seu ritmo, regula a estrutura dos átomos e núcleos.

Arnold Sommerfeld

Apesar de ter relacionado o momento angular do elétron à constante de Planck, a incorporação efetiva do momento angular no modelo de Bohr com órbitas elípticas foi implementada por Sommerfeld [7, 8, 9], ao final de 1915 e no início de 1916. Considerando que a energia cinética do elétron fosse dada pela expressão relativística de Einstein, e impondo regras de quantização associadas às componentes radiais e azimutais, correspondentes ao *momentum* e ao momento angular, obtém a expressão para a energia em função de números inteiros não negativos, como

$$E_{n_r, n_\varphi} = E_o \left[1 + \left(\frac{\alpha}{n_r + \sqrt{n_\varphi^2 - \alpha^2}} \right)^2 \right]^{-1/2} \quad (3)$$

em que

$$\begin{cases} n_r = 0, 1, 2, \dots, (n-1) \\ n_\varphi = 1, 2, 3, \dots, n \\ n_r + n_\varphi = n = 1, 2, 3, \dots \end{cases},$$

$E_o = m_e c^2 \simeq 0,511 \times 10^6 \text{ eV}$ é a energia de repouso do elétron, $n = (n_r + n_\varphi)$ é o número quântico principal, n_r - número quântico radial -, devido à quantização da componente radial do *momentum*, n_φ - número quântico secundário -, associado à quantização do momento angular, e $\alpha = \left(\frac{1}{4\pi\epsilon_0} \right) \frac{e^2}{\hbar c} \simeq \frac{1}{137}$ é a *constante de estrutura fina* de Sommerfeld.¹⁷

¹⁷ $\hbar = h/2\pi = 1,054\,571\,817 \times 10^{-34} \text{ J}\cdot\text{s}$ e $\alpha^{-1} = 137,035\,999\,177(21)$ - CODATA (2022).

Devido à ordem de grandeza de α , a energia pode ser expressa, aproximadamente, por

$$E_{n,n_\varphi} = E_o - \frac{13,6}{n^2} \left[1 + \frac{\alpha^2}{n^2} \left(\frac{n}{n_\varphi} - \frac{3}{4} \right) \right] \text{ (eV)}$$

A fórmula de Sommerfeld, equação (3), implica algumas consequências notáveis, dentre as quais:

- (i) o desdobramento das linhas do espectro dos átomos, em relação às linhas determinadas pela fórmula de Bohr, mesmo na ausência de um campo magnético externo, ou seja, independentemente do efeito Zeeman;
- (ii) os valores da energia, extraordinariamente, são iguais àqueles calculados pela expressão obtida anos depois, em 1928, a partir da equação relativística de Dirac, a qual já incorpora o *spin* do elétron.

Deve ser lembrado que, em 1916, ainda não havia nem o conceito de *spin*, nem a equação de Dirac. Algumas hipóteses sobre essa coincidência, ou casualidade, são apresentadas por Yakov I. Granovskii [10].

Com respeito ao primeiro item, o pequeno desdobramento, que segundo a fórmula de Sommerfeld seria uma correção da ordem de 10^{-4} eV, correspondente a uma frequência de 10^{11} Hz, revelando a chamada *estrutura fina* do espectro, já tinha sido reportado em outro contexto por Albert Michelson e Edward Morley, em 1887, ao observarem a linha vermelha do espectro do hidrogênio por interferência luminosa, mas só se revelou aos espectroscopistas após se manifestar nas linhas do sódio. A revelação da estrutura fina foi mais uma manifestação do *spin* do elétron, agora na ausência de um campo magnético.

Apesar de ter surgido na elaboração de um modelo atômico, o papel da constante de estrutura fina ampliou-se com o desenvolvimento da Eletrodinâmica Quântica (QED); de uma constante que caracteriza um fenômeno espectroscópico para um “parâmetro de acoplamento” que caracteriza as interações entre elétrons e fótons. Por razões históricas, ainda é conhecida como constante de estrutura fina; no entanto, $1/137$ é o valor assintótico quando a energia de interação

elétron-fóton é bem menor que a energia de repouso do elétron [11, 12, 13].

Ainda em 1916, Sommerfeld [14] propõe que na presença de um campo magnético, o desdobramento das linha espectrais era caracterizado por um novo número quântico (m) – número quântico azimutal ou magnético –, associado à inclinação das órbitas eletrônicas em relação à direção do campo, tal que o cosseno do ângulo polar θ entre as direções do campo e a normal ao plano da órbita ou, equivalentemente, com o momento angular ou com o momento magnético,¹⁸ era dado por $\cos \theta = m/n_\varphi$. Uma vez que $n_\varphi = 1, 2, 3, \dots$ e $|m| \leq n_\varphi$ fossem inteiros implicava que a inclinação dos planos das órbitas variava discretamente, comportamento que ficou conhecido como *quantização espacial*. Para Sommerfeld, os estados estacionários de um átomo seriam caracterizado por três números quânticos (n, n_φ, m), e as linhas espectrais decorriam de transições entre esses estados, ou seja, dependiam das variações e combinações desses números.

A hipótese da quantização espacial de Sommerfeld foi verificada por Otto Stern e Walther Gerlach [15], em 1922, no celebrado experimento ao qual muitos atribuem a primeira evidência do *spin*. No entanto, a manifestação do *spin*, também implicitamente, já havia ocorrido anteriormente, em 1897, nos experimentos realizados por Thomas Preston, nos quais, como já mencionado, observou o efeito Zeeman anômalo.

De acordo com o Eletromagnetismo, o momento magnético ($\vec{\mu}$) de um elétron com momento angular orbital \vec{L} é igual a

$$\vec{\mu} = -\frac{e}{2m_e} \vec{L} \quad (4)$$

Sob ação de um campo magnético (\vec{B}), a energia potencial (V) de interação magnética é dada por

$$V = -\vec{\mu} \cdot \vec{B} = \left(\frac{e}{2m_e} \right) \vec{L} \cdot \vec{B} = \left(\frac{e}{2m_e} \right) LB \cos \theta$$

em que θ é o ângulo entre o momento angular e o campo. Se o campo variar rapidamente em uma direção z – havendo um forte gradiente de campo –, a partícula estará sob a ação

¹⁸ De acordo com o Eletromagnetismo, o momento magnético de uma partícula com carga elétrica é proporcional ao seu momento angular.

de uma força (F_z) nessa direção, proporcional à componente do momento angular também nessa direção, ou seja, proporcional ao cosseno de θ , dada por

$$F_z = - \left(\frac{eL}{2m_e} \right) \left(\frac{\partial B}{\partial z} \right) \cos \theta$$

Assim, segundo a hipótese de quantização espacial de Sommerfeld, um elétron em movimento em uma direção perpendicular ao campo seria desviado apenas em certas direções.

O esquema básico do experimento de Stern-Gerlach consistia em um feixe de átomos de prata direcionado à uma região onde havia um campo não uniforme perpendicular à direção do feixe. Um placa fotográfica, colocada a uma certa distância, permitiria registrar o desdobramento esperado do feixe inicial, devido à interação do momento dipolar dos átomos com o campo magnético (Figura 4).

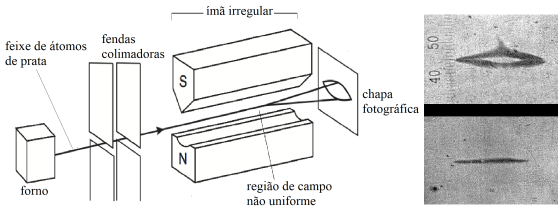


Figura 4: Experimento de Stern-Gerlach. Na ausência (parte inferior) e na presença (parte superior) do campo magnético. Originalmente, a fotografia foi publicada com as linhas dos desdobramentos do feixe inicial na vertical. Na figura, a fotografia foi reproduzida de acordo com o esquema do experimento (à esquerda), em que a direção do campo magnético é vertical.

À época dos experimentos, mesmo com os resultados apresentados mostrando o desdobramento em dois feixes, e a medida do momento magnético da ordem de 10^{-23} J/T,¹⁹ não se cogitou a hipótese do *spin*. Somente após 1927,²⁰ com o reconhecimento de que os átomos de prata no experimento estavam no estado fundamental, para o qual o momento angular orbital e o momento magnético associado são nulos, compreendeu-se que os resultados dos experimentos deviam-se ao momento magnético intrínseco do

¹⁹ Esse valor, denotado como μ_B e, teoricamente, dado por $(e\hbar/2m_e) = 9,284\,764\,691\,7(29) \times 10^{-24}$ J/T – CODATA (2022) –, é denominado *magneton de Bohr*.

²⁰ Quando Goudsmit e Uhlenbeck já tinha introduzido o conceito de *spin* do elétron.

elétron, ou seja, ao *spin* do elétron. Um experimento similar, utilizando um feixe de hidrogênio no estado fundamental, foi realizado por Thomas Phipps e John B. Taylor [16], em 1927, logo após a introdução do conceito de *spin*.

O caráter seminal do experimento de Stern-Gerlach, realizado cerca de três anos antes da introdução do conceito de *spin* e da Mecânica Quântica, está relacionado ao fato de propiciar a manifestação e a verificação de várias características básicas inesperadas do mundo quântico – seja relacionado ao problema da medição, ou ao da preparação de estados –, e ao impacto experimental da técnica de produção de feixes moleculares, – causadora de uma revolução nas tecnologias nuclear, atômica e molecular.

Antes de Stern e Gerlach, ninguém tinha sido capaz de investigar o comportamento dos átomos individualmente. Todas essas inovações estavam presentes no experimento e, assim, graças à sua simplicidade conceitual, tornou-se o protótipo por excelência para apresentar e esclarecer diversos pontos da Mecânica Quântica, como o conceito de estado quântico, da preparação de estados, da interpretação dos processos de medição, e do princípio da superposição de estados.

6 1925 e o *spin*: Goudsmit, Uhlenbeck e o princípio de exclusão de Pauli

O Princípio da Exclusão é estabelecido puramente para o benefício dos próprios elétrons, que podem ser corrompidos (e se tornar dragões ou demônios) se lhes for permitido se associar muito livremente.

Alan Turing

No período que se sucedeu à hipótese de Sommerfeld, um novo impulso ocorre na Espectroscopia e na Física Atômica. Há um expressivo incremento na quantidade de pesquisadores atuando nessas áreas, principalmente na Europa e nos Estados Unidos, tanto na parte experimental como na teórica, criando um ambiente de troca de informações do qual resultou, concomitantemente ao conceito de *spin*, o surgimento da Mecânica Quântica.

Entre 1920 e 1925, o próprio Sommerfeld, Wolfgang Pauli e Alfred Landé se destacam na interpretação de vasta quantidade de dados revelados na espectroscopia. Uma grande multiplicidade de linhas passa a ser revelada nos espectros, na ausência e na presença de um campo magnético externo. São estabelecidas algumas regras empíricas que permitiam identificar as transições que poderiam dar origem às linhas espectrais – as chamadas *regras de seleção*, relativas às variações permitidas aos números quânticos. A apresentação minuciosa de todas essas regras, determinadas empírica ou fenomenologicamente, a partir da introdução de certos conjuntos de números inteiros, pode ser encontrada no livro de Sin-itiro Tomonaga [17], *The Story of Spin*. No entanto, neste ponto, basta lembrar que a manifestação do efeito Zeeman anômalo continuava inexplicada. Nesse contexto, em que os três números quânticos, associados a um estado do átomo, ainda não eram suficientes para caracterizar as transições observadas, um quarto número quântico, associado a apenas dois valores, é introduzido *ad hoc*.

Apesar do relativo sucesso para justificar o desdobramento das linhas espectrais sob várias condições, que se seguiu à introdução de diversas outras regras empíricas, ainda sem suporte teórico convincente, esse foi um período de grande confusão. De fato, Sommerfeld, Pauli e Landé, além de não utilizarem o mesmo conjunto de números quânticos, propuseram também diferentes modelos para a estrutura atômica, como se infere do desabafo de Pauli em resposta a um amigo que comentou que ele não parecia feliz [18]:

Como se pode estar feliz quando se está pensando no efeito Zeeman anômalo?

Nesse ponto, crucial na compreensão do espectro atômico e, portanto, da estrutura atômica, observa-se que, no caso de um átomo não hidrogenóide, como o hélio, cujo espectro de energia estaria associado a dois pares de números quânticos, correspondentes aos dois elétrons, várias linhas espectrais que seriam esperadas eram ausentes. Assim, no início do ano de 1925, Pauli [19] vislumbra que as linhas suprimidas corresponderiam, principalmente, a estados nos quais os quatro números quânticos correspondentes a cada elétron eram iguais.

Essa observação, inicialmente, enunciada como uma regra para a ocorrência de um estado atômico em qualquer átomo, independentemente de seu número atômico, tornou-se um princípio fundamental da Física – o *princípio de exclusão* de Pauli:

Em qualquer átomo, não pode haver um estado no qual dois ou mais elétrons tenham os mesmos quatro números quânticos.

Imediatamente, a partir desse princípio, além da explicação da estrutura atômica, Pauli encontra a chave que faltava para se compreender, em bases teóricas, o enorme sucesso do arranjo periódico dos elementos químicos em grupos que têm comportamento químico semelhantes – a Tabela Periódica de Mendeleiev. Segundo esse princípio, a cada número quântico principal ($n = 1, 2, 3, \dots$), associado à energia, corresponderia uma camada de elétrons, arranjados em subcamadas com mesma energia, caracterizadas pelo número quântico secundário ($l = 0, 1, 2, \dots, (n - 1)$),²¹ sendo que para cada subcamada, devido aos dois valores do quarto número quântico, o número de elétrons seria igual ao dobro do número quântico magnético ($m = 0, \pm 1, \pm 2, \dots, \pm l$), implicando uma saturação no número de elétrons em cada camada, igual a $2n^2$. Essa é a origem da famosa regra de distribuição eletrônica das camadas atômicas relacionada ao preenchimento das 7 camadas existentes, designadas pelas letras maiúsculas K, L, M, N, O, P e Q. A mais interna, de menor energia, teria, no máximo 2 elétrons, e as demais, respectivamente, 8, 18, 32 *etc.*²²

Do ponto de vista experimental, a hipótese de Pauli permitia a compreensão de todos os resultados obtidos na espectroscopia até aquela data, incluindo as manifestações da estrutura fina, bem como dos efeitos Zeeman normal e anômalo. Enquanto os três primeiros números quânticos estavam associados à energia e ao momento angular, e descreviam a estrutura fina e o efeito Zeeman normal, o quarto número quântico, recém introduzido, e que para Pauli poderia

²¹ Na convenção atual, após o surgimento da equação de Schrödinger.

²² Esse procedimento, no entanto, não é suficiente para se definir o preenchimento dos estados atômicos pelos elétrons. O preenchimento correto, com raras exceções, é completado pelas chamadas *regras de Hund*.

assumir apenas dois valores, apesar de descrever o efeito Zeeman anômalo, carecia de uma interpretação física. Qual grandeza associada ao elétron ele representava? Nesse momento, estava preparado o cenário para a conceitualização de uma nova propriedade dos elétrons, que seria associada a esse quarto número quântico.

Nesse contexto, no mesmo ano de 1925, o jovem Samuel Goudsmit, assistente de Paul Ehrenfest, descobre que o espectro atômico poderia ser descrito de modo mais simples e sugestivo, se a esse quarto número quântico fossem atribuídos os valores semi-inteiros, iguais a $+1/2$ e $-1/2$.

À procura de uma interpretação física para a hipótese de Goudsmit, George Uhlenbeck, seu parceiro de pesquisa, supõe, ainda de um ponto de vista clássico, que esse número estaria associado a um momento angular intrínseco (\vec{S}) do elétron, devido a sua rotação, como se fosse um corpo extenso e, portanto, tendo também um momento dipolar intrínseco, que se manifestaria sob a ação de um campo magnético externo, como ocorria no efeito Zeeman anômalo e normal [20, 21, 22, 23, 24].²³ A esse momento angular intrínseco, um novo grau de liberdade do elétron, de maneira simplificada e mnemônica, conhecido como *spin*, Goudsmit e Uhlenbeck atribuíram o valor $\hbar/2$ e, ao correspondente momento magnético, o valor $\mu_B = (e\hbar/2m_e)$, igual ao magneton de Bohr. Desse modo, estava finalmente estabelecida a descoberta do *spin*.

De imediato, a hipótese de se associar ao elétron uma propriedade intrínseca, baseada, ainda, em um modelo mecânico, e em argumentos da Mecânica e do Eletromagnetismo Clássicos, recebeu várias contestações.²⁴ A principal delas era uma suposta contradição da relação en-

²³ Uma parte substancial das hipóteses de Goudsmit e Uhlenbeck, já tinha sido antecipada e, em seguida, descartada por Ralph Kronig, um jovem orientando do próprio Pauli.

²⁴ Uma das contestações, sofrida também pelo próprio Kronig, foi a de Lorentz, de que a velocidade (v) dos pontos da superfície de um elétron em rotação com momento angular de *spin* da ordem de $\hbar/2$ seria muito maior que a velocidade da luz no vácuo. Com efeito, de acordo com a Mecânica Clássica,

$$S = \frac{\hbar}{2} = I\omega = \underbrace{(2/5)m_e r_e^2}_{I} \omega$$

tre o momento angular e o momento magnético. De acordo com o Eletromagnetismo, se a equação (4) fosse válida para o *spin* ($\hbar/2$) do elétron, o momento magnético seria metade do valor proposto por Goudsmit e Uhlenbeck. Ou seja, havia uma discrepância associada a um fator 2 na expressão do momento magnético.²⁵ As objeções cessaram quando Llewellyn H. Thomas [25], considerando que em relação ao elétron o próton em movimento produzia um campo magnético que agia sobre ele, e utilizando a cinemática relativística, mostrou que o fator 2 era cancelado na expressão final do momento magnético. A equação (4), embora válida para o momento angular orbital, não é válida para o *spin* do elétron. A relação entre o momento magnético intrínseco ($\vec{\mu}_e$) e o *spin* (\vec{S}) do elétron é dada por

$$\vec{\mu}_e = g_e \left(\frac{e}{2m_e} \right) \vec{S} \quad (5)$$

ou,

$$|\vec{\mu}_e| = \frac{|g_e|}{2} \frac{e\hbar}{2m_e} \simeq \mu_B$$

em que $g_e \simeq -2$ é o fator g do elétron.²⁶

implica

$$v \simeq \frac{\hbar}{m_e r_e} \sim 10^{11} \text{ m/s} \gg c$$

em que I é o momento de inércia, $m_e \simeq 10^{-30}$ kg e $r_e \simeq 10^{-15}$ m, respectivamente, a massa e o raio clássico do elétron, e $\omega = v/r_e$, a velocidade angular de rotação.

²⁵ Essa aparente contradição foi apontada, dentre outros, por Heisenberg, Bohr, Einstein e Pauli.

²⁶ O valor do fator g do elétron, $g_e = -2,002\,319\,304\,360\,92(36)$ – CODATA (2022), é uma das mais precisas medidas determinadas na Física Experimental. Esse fator, associado ao momento magnético de *spin* do elétron, muitas vezes é expresso como um valor positivo $g_s = |g_e|$. Nesse caso, o momento magnético é expresso como: $\vec{\mu}_e = -g_s \left(\frac{e}{2m_e} \right) \vec{S}$.

7 O surgimento da Mecânica Quântica e a interpretação probabilística de Born

Embora nas pesquisas realizadas por Rutherford, Bohr, Sommerfeld e outros, a comparação do átomo com um sistema planetário de elétrons tenha levado a uma interpretação qualitativa das propriedades ópticas e químicas dos átomos, a dessemelhança fundamental entre o espectro atômico e o espectro clássico de um sistema de elétrons impõe a necessidade de se abandonar o conceito de trajetória para os elétrons e de se renunciar a uma descrição visual do átomo.

Werner Heisenberg (1933)
Nobel Lecture

No mesmo ano de 1925, em que Goudsmit e Uhlenbeck propunham o *spin* do elétron, ainda, fortemente, inspirados em um modelo clássico, Werner Heisenberg [26], à época assistente de Max Born, consegue romper com uma das concepções mais arraigadas no senso comum, e basilar da Mecânica Clássica de Newton, ou seja, que o universo é um grande mecanismo, regido por leis naturais e matemáticas precisas que podem ser utilizadas para prever com total determinismo o comportamento dos corpos celestes e terrestres. Isso se dá a partir das leis de Newton, em especial da 2ª lei da dinâmica, que é uma equação diferencial ordinária de segunda ordem em relação ao tempo, cuja solução para uma partícula, $[x(t), y(t), z(t)]$, é dada pelas equações paramétricas de sua trajetória. Segundo o jovem físico alemão, este conceito deixa de fazer sentido na nova descrição do microcosmo por ser a trajetória algo inobservável.

Heisenberg, rejeitando a existência do conceito clássico de trajetória, representa as possíveis posições e *momenta* da partícula por arranjos numéricos cujas operações algébricas de multiplicação não são necessariamente comutativas, como a multiplicação entre números reais ou complexos. Após esses arranjos serem reconhecidos por Born como matrizes, em colaboração com Pascual Jordan, estabelecem, propriamente, a primeira versão de uma Mecânica Quântica não relativística, ainda sem levar em

conta o *spin* do elétron [27].

Em relação a um sistema cartesiano, as grandezas associadas à posição e ao *momentum*,²⁷ são representadas por matrizes x, y, z, p_x, p_y, p_z , e o fato de a multiplicação dessas matrizes não ser comutativa é expresso pelas chamadas *regras de comutação*, dadas por

$$x_i p_j - p_j x_i = [x_i, p_j] = i\hbar \delta_{i,j} \quad (i, j = 1, 2, 3)$$

em que $\delta_{i,j} = \begin{cases} 1 & (i = j) \\ 0 & (i \neq j) \end{cases}$, $(x_1 = x, x_2 = y, x_3 = z)$ e $(p_1 = p_x, p_2 = p_y, p_3 = p_z)$.²⁸

O momento angular é introduzido de forma análoga à expressão clássica, como o operador matricial cujas componentes são dadas por

$$\begin{cases} L_x = yp_z - zp_y \\ L_y = zp_x - xp_z \\ L_z = xp_y - yp_x \end{cases}$$

sujeitas às regras de comutação

$$\begin{cases} [L_x, L_y] = i\hbar L_z \\ [L_y, L_z] = i\hbar L_x \\ [L_z, L_x] = i\hbar L_y \end{cases}$$

De maneira também similar à Mecânica Clássica, a matriz (H) que representa a energia de uma partícula de massa m , em um campo conservativo, denominada *matriz hamiltoniana*, é expressa em função das matrizes associadas à posição e ao *momentum*,

$$H = \frac{p^2}{2m} + V(x, y, z)$$

sendo $p^2 = p_x^2 + p_y^2 + p_z^2$, e $V(x, y, z)$ a matriz que representa a energia potencial.

A partir dessas regras de comutação fundamentais, Born, Heisenberg, Jordan e Pauli determinam tanto o espectro de energia de uma

²⁷ No sentido lato, entende-se como grandeza toda propriedade física à qual se pode atribuir uma magnitude, a partir de um processo de medição. Por uma influência dos precursores da teoria, claramente positivista, as grandezas físicas utilizadas na Mecânica Quântica são, na maioria das vezes, chamadas de *observáveis*.

²⁸ Na abordagem matricial, as componentes da posição e do *momentum* não são dadas pelas expressões clássicas e não relativísticas das coordenadas (x, y, z) e dos *momenta* (mv_x, mv_y, mv_z) , nesse contexto, x, y, z, p_x, p_y e p_z são matrizes, ou operadores, definidos pelas regras de comutação.

partícula que oscila harmonicamente com uma dada frequência, obtendo a quantização de energia dos osciladores de Planck, como o espectro de energia do hidrogênio, com sua estrutura fina, e sob ação de campos elétricos – o efeito Stark –, e magnéticos – o efeito Zeeman normal.

Do ponto de vista matemático, os resultados são obtidos diagonalizando a matriz hamiltoniana, sendo seus autovalores identificados por Born, como os possíveis valores de energia mas, como aponta o matemático Bartel L. van der Waerden [28]:

No entanto, ele não percebeu que os autovetores determinam os estados estacionários do átomo; ele os usou apenas como auxílio matemático para realizar a transformação para os eixos principais. O significado físico dos autovetores não foi esclarecido antes de Schrödinger.

Born, Heisenberg e Jordan desenvolvem a teoria de modo a incluir a dinâmica dos elétrons atômicos perturbados por campos eletromagnéticos dependentes do tempo, abordando também os átomos com muitos elétrons, mas sem estendê-la aos processos aperiódicos.

A segunda versão, obtida por Erwin Schrödinger, foi motivada, principalmente, pela hipótese de Louis de Broglie, apresentada como tese de seu doutorado, em 1924 [29]. Como Einstein havia mostrado, em sua interpretação do problema da Radiação de Corpo Negro, era possível associar a uma onda eletromagnética plana monocromática, um conjunto de partículas que portavam, cada uma, um fragmento ou *quantum* de energia E , proporcional à frequência (ν) da radiação, dada pela expressão de Planck; $E = h\nu$. Nesse sentido, uma onda eletromagnética apresentaria uma natureza discreta, sendo constituída de corpúsculos não materiais de energia: os fótons. De maneira análoga, de Broglie considera que, assim como a um conjunto de fótons associa-se uma onda eletromagnética, pode-se associar a um feixe homogêneo de partículas materiais, cada qual com *momentum* p , um comportamento ondulatório, caracterizado por uma onda progressiva de comprimento de onda $\lambda = h/p$.²⁹

²⁹ Para de Broglie, o *momentum* da partícula seria dado pela expressão relativística, $p = \frac{mv}{\sqrt{1 - v^2/c^2}}$.

Schrödinger, então, em 1926, publica uma série de artigos nos quais estabelece a versão ondulatória da Mecânica Quântica [30], mostrando também a equivalência entre as versões matricial e ondulatória. Inicialmente, ao abordar o problema do átomo, considera que, em vez de uma onda progressiva, as vibrações atômicas, por serem espacialmente limitadas, estariam associadas a ondas estacionárias. Desse modo, a quantização da energia resultava de um problema de autovalor, envolvendo uma equação diferencial parcial e um campo escalar, $\psi(x, y, z)$, sujeito a condições de contorno apropriadas, semelhante ao problema da corda vibrante. Atualmente, a versão ondulatória é apresentada de maneira análoga à formulação matricial; o operador hamiltoniano (H) que representa a energia de uma partícula de massa m , em um campo conservativo, é expresso como na Mecânica Clássica, em termos dos operadores associados à posição e ao *momentum*. Enquanto os operadores de posição são, simplesmente, as coordenadas cartesianas (x, y, z) , os associados às componentes do *momentum* são operadores diferenciais dados por

$$p_x = -i\hbar \frac{\partial}{\partial x}, \quad p_y = -i\hbar \frac{\partial}{\partial y}, \quad p_z = -i\hbar \frac{\partial}{\partial z}$$

e o espectro de energia – o conjunto de possíveis energias $\{E\}$ –, determinado pela equação diferencial de autovalor

$$H\psi = \left[\frac{p^2}{2m} + V(x, y, z) \right] \psi(x, y, z) = E\psi$$

Apesar da equação de autovalor proporcionar a solução do movimento limitado de uma partícula em um campo conservativo, como o elétron no átomo ou o oscilador harmônico, o físico austríaco obtém também a equação que descreve a evolução espaço-temporal da partícula, tanto no interior do átomo, como em movimento não limitado sob a ação de campos não conservativos dependentes do tempo (t) – a *equação de onda de Schrödinger* ou, simplesmente, *equação de Schrödinger*,

$$i\hbar \frac{\partial}{\partial t} \Psi(x, y, z, t) = \left[\frac{p^2}{2m} + V(x, y, z, t) \right] \Psi$$

em que $V(x, y, z, t)$ é a energia potencial, e Ψ , devido à analogia de L. de Broglie, é chamada *função de onda* de Schrödinger.

A formulação ondulatória é estendida também aos átomos multi-eletrônicos, mas as duas versões ainda careciam de um cunho interpretativo. Tanto as autofunções do operador hamiltoniano, como a função de onda eram apenas campos escalares auxiliares, não representando qualquer propriedade ou grandeza física. Apesar de ter tentado conceber uma interpretação física para a função de onda, Schrödinger não obtém sucesso. Além da extensa similaridade formal com a Mecânica Clássica, em particular com a formulação analítica de Hamilton, o caráter determinístico implícito na Mecânica, e mesmo na Relatividade Restrita, ainda predominava ao se buscar uma interpretação da teoria. A ruptura com o determinismo clássico de Laplace só ocorre com a interpretação probabilística proposta por Max Born.

Ao analisar o espalhamento de um feixe homogêneo de elétrons por um átomo, Born [31], inicialmente, antes de qualquer interação, representa as partículas incidentes pela autofunção ($\psi_i = \phi_E$) associada a uma partícula livre com uma dada energia E . Após a interação, a solução (ψ_f) da equação de Schrödinger assintoticamente, no infinito, pode ser expressa por uma superposição das autofunções correspondentes ao espectro de energia da partícula livre,

$$\psi_f(x, y, z) = \int c(E') \phi_{E'}(x, y, z) dx dx dz$$

cujos coeficientes determinam as probabilidades de um elétron inicialmente com energia E , em um estado ϕ_E , ser encontrado em um estado $\phi_{E'}$ com energia E' . Os coeficientes são dados por³⁰

$$c(E') = \int \phi_{E'}^* \psi_f dx dx dz = (\phi_{E'}, \psi_f)$$

e, as probabilidades, segundo Born, por³¹

$$P(E') = |c(E')|^2 = |(\phi_{E'}, \psi_f)|^2$$

³⁰ Na linguagem da Álgebra Linear, pelo produto escalar $(\phi_{E'}, \psi_f)$.

³¹ Se as autofunções, ou autoestados de energia, são devidamente normalizadas como

$$\int \phi_{E'}^* \phi_E dx dx dz = (\phi_{E'}, \phi_E) = \delta(E - E')$$

sendo $\delta(E - E')$ a função delta de Dirac, definida pela relação

$$\int f(E) \delta(E - E') dE = f(E')$$

Uma das principais consequências do princípio de Pauli, após o surgimento da formulação de Schrödinger, foi a generalização feita por Paul Dirac, em 1926, acerca do comportamento de sistemas de partículas de mesma espécie, em particular de gases ideais. Segundo Dirac [32], a função de onda de um par de partículas (1,2), $\Psi(1, 2)$, pode ser expressa como uma combinação simétrica, das autofunções que representam seus estados estacionários, pela troca de partículas,

$$\Psi(1, 2) \propto \psi_\alpha(1) \psi_\beta(2) + \psi_\beta(1) \psi_\alpha(2)$$

ou, por uma combinação antissimétrica,

$$\begin{aligned} \Psi(1, 2) &\propto \psi_\alpha(1) \psi_\beta(2) - \psi_\beta(1) \psi_\alpha(2) \\ &\propto \det \begin{pmatrix} \psi_\alpha(1) & \psi_\alpha(2) \\ \psi_\beta(1) & \psi_\beta(2) \end{pmatrix} \end{aligned}$$

em que α e β são dois conjuntos de números quânticos associados às autofunções.

Para um número N de partículas, a combinação antissimétrica pode ser escrita como determinante da matriz $(N \times N)$,

$$\Psi(1, 2 \dots N) \propto \det \begin{pmatrix} \psi_\alpha(1) & \psi_\alpha(2) & \dots & \psi_\alpha(N) \\ \psi_\beta(1) & \psi_\beta(2) & \dots & \psi_\beta(N) \\ \vdots & \vdots & \ddots & \vdots \\ \psi_\zeta(1) & \psi_\zeta(2) & \dots & \psi_\zeta(N) \end{pmatrix}$$

a qual se anula quando duas ou mais partículas são associadas ao mesmo conjunto de números quânticos.

Assim, Dirac estabelece que a função de onda de um sistema de partículas que obedecem ao princípio de Pauli, como os elétrons, deve ser antissimétrica. Aplicando essa propriedade a um gás de partículas que obedecem ao princípio de Pauli, Dirac obtém a distribuição das partículas em função da energia, a qual na mesma época foi obtida por Enrico Fermi [33], baseando-se no fato de que as partículas de um gás não relativístico, de acordo com o princípio de Pauli, não podiam compartilhar estados de mesma energia, – a *distribuição de Fermi-Dirac*.

A solução simétrica, que não impunha restrições ao número de partículas em cada estado, representaria um gás de partículas sem massa como os fótons, obedecendo à distribuição de

Planck, ou massivas não relativísticas, que obedecessem à distribuição obtida por Einstein [34] – a *distribuição de Bose-Einstein*, a partir da abordagem de Satyandranath Bose [35].³²

8 As matrizes de Pauli e a representação do *spin*

Em todos os aspectos, é realmente estranho que absolutamente ninguém tenha proposto, até o trabalho de Pauli [...] e Dirac, que é vinte anos depois da Relatividade Especial [...], este relato sinistro de que uma tribo misteriosa chamada família dos espinores habita o espaço isotrópico [tridimensional] ou o mundo de Einstein-Minkowski [quadridimensional].

Sin-Itiro Tomonaga

Apesar do ceticismo e das críticas iniciais, Wolfgang Pauli foi uma figura central no estabelecimento e na inclusão do *spin* na Mecânica Quântica não relativística. Com o intuito de incorporar a hipótese, de Goudsmit e Uhlenbeck, de momento angular intrínseco semi-inteiro do elétron, na formulação de Schrödinger, Pauli [36], em 1927, em vez de um campo escalar, considera a função de onda um campo (ψ) representado por uma matriz coluna (2×1),

$$\psi = \begin{pmatrix} \psi^+ \\ \psi^- \end{pmatrix}$$

e as componentes cartesianas do operador de *spin*, matrizes quadradas (2×2), que satisfazem as mesmas relações de comutação obedecidas pelo momento angular orbital, ou seja,

$$\begin{cases} [S_x, S_y] = i\hbar S_z \\ [S_y, S_z] = i\hbar S_x \\ [S_z, S_x] = i\hbar S_y \end{cases}$$

Operacionalmente, uma representação explícita para o *spin* 1/2 do elétron é definida em

³² Einstein obteve a chamada distribuição de Bose-Einstein ao estender a abordagem de Bose, originalmente aplicada a um gás de fótons, aos gases de partículas massivas e não relativísticas com *spins* não fracionários, apesar de, na época, não haver o conceito de *spin*.

termos das chamadas *matrizes de Pauli*,³³

$$\begin{cases} \sigma_x = \begin{pmatrix} 0 & 1 \\ 1 & 0 \end{pmatrix} \\ \sigma_y = \begin{pmatrix} 0 & -i \\ i & 0 \end{pmatrix} \\ \sigma_z = \begin{pmatrix} 1 & 0 \\ 0 & -1 \end{pmatrix} \end{cases}$$

em que as componentes são dadas por

$$S_x = \frac{\hbar}{2} \sigma_x, \quad S_y = \frac{\hbar}{2} \sigma_y, \quad S_z = \frac{\hbar}{2} \sigma_z$$

e

$$\vec{S} = (S_x, S_y, S_z) = \frac{\hbar}{2} (\sigma_x, \sigma_y, \sigma_z) = \frac{\hbar}{2} \vec{\sigma}$$

Apesar da representação matricial, a função de onda, segundo Pauli, não é um campo vetorial, é um *campo espinorial* de ordem 1, geralmente chamado *espinor de Pauli*, cujas componentes, em uma mudança de sistemas cartesianos, correspondente a uma rotação de um ângulo θ em torno do eixo z , se transformam como³⁴

$$\psi' = e^{iS_z\theta/\hbar} \psi = \begin{pmatrix} e^{i\theta/2} & 0 \\ 0 & e^{-i\theta/2} \end{pmatrix} \begin{pmatrix} \psi^+ \\ \psi^- \end{pmatrix}$$

em que as componentes do *spin*, ou as correspondentes matrizes de Pauli, são os chamados geradores da representação espinorial bi-dimensional do grupo das rotações.³⁵

³³ Os autovalores de cada matriz de Pauli são +1 e -1, e os respectivos autovetores normalizados dados por

| autovalores | +1 | -1 |
|-------------|--|---|
| autovetores | $\chi_x^+ = \frac{1}{\sqrt{2}} \begin{pmatrix} 1 \\ 1 \end{pmatrix}$ | $\chi_x^- = \frac{1}{\sqrt{2}} \begin{pmatrix} -1 \\ 1 \end{pmatrix}$ |
| | $\chi_y^+ = \frac{1}{\sqrt{2}} \begin{pmatrix} 1 \\ i \end{pmatrix}$ | $\chi_y^- = \frac{1}{\sqrt{2}} \begin{pmatrix} i \\ 1 \end{pmatrix}$ |
| | $\chi_z^+ = \begin{pmatrix} 1 \\ 0 \end{pmatrix}$ | $\chi_z^- = \begin{pmatrix} 0 \\ 1 \end{pmatrix}$ |

³⁴ Inicialmente, os eixos dos sistemas de eixos (x, y, z) e (x', y', z') são paralelos.

³⁵ Rotações em torno dos eixos x e y , correspondentes aos ângulos α e β são expressas como

$$\begin{pmatrix} \cos(\alpha/2) & i \sin(\alpha/2) \\ i \sin(\alpha/2) & \cos(\alpha/2) \end{pmatrix} \text{ e } \begin{pmatrix} \cos(\beta/2) & \sin(\beta/2) \\ -\sin(\beta/2) & \cos(\beta/2) \end{pmatrix}$$

8.1 A precessão de Larmor segundo Pauli

Na mecânica quântica, não se pode falar sobre a direção do momento angular no mesmo sentido que se faz classicamente; no entanto, há uma analogia muito próxima – tão próxima que continuamos a chamá-la de precessão.

Richard Feynman

Uma aplicação típica do formalismo de Pauli é a análise do comportamento do elétron sob a ação de um campo magnético uniforme. De acordo com Pauli, o momento magnético de *spin* ($\vec{\mu}_e$) do elétron pode ser expresso como

$$\vec{\mu}_e = g_e \left(\frac{e}{2m_e} \right) \vec{S} = -\frac{|g_e|}{2} \underbrace{\left(\frac{e\hbar}{2m_e} \right)}_{\mu_B} \vec{\sigma} = -\gamma_e \frac{\hbar}{2} \vec{\sigma}$$

em que $\gamma_e = |g_e| \frac{e}{2m_e} \simeq 1,76 \times 10^{11} \text{ s}^{-1} \cdot \text{T}^{-1}$ é a razão giromagnética do elétron.³⁶

Supondo que o elétron é oriundo de um dos feixes que emergem de um aparato de Stern-Gerlach e o campo (\vec{B}) é aplicado em uma direção z , a hamiltoniana (H) do elétron, levando em conta apenas o grau de liberdade de *spin*, é dada por

$$H = -\vec{\mu}_e \cdot \vec{B} = (\gamma_e B) \frac{\hbar}{2} \sigma_z = \omega_L \frac{\hbar}{2} \begin{pmatrix} 1 & 0 \\ 0 & -1 \end{pmatrix}$$

em que $\omega_L = \gamma_e B$ é a frequência de Larmor.

Nesse caso, a equação de Schrödinger é expressa como

$$\begin{aligned} i\hbar \frac{d}{dt} \begin{pmatrix} \psi^+ \\ \psi^- \end{pmatrix} &= H \begin{pmatrix} \psi^+ \\ \psi^- \end{pmatrix} \\ &= \omega_L \frac{\hbar}{2} \begin{pmatrix} 1 & 0 \\ 0 & -1 \end{pmatrix} \begin{pmatrix} \psi^+ \\ \psi^- \end{pmatrix} \end{aligned}$$

ou, equivalentemente, por um sistema de equações independentes,

$$\begin{cases} i \frac{d}{dt} \psi^+ = \frac{\omega_L}{2} \psi^+ \\ i \frac{d}{dt} \psi^- = -\frac{\omega_L}{2} \psi^- \end{cases} \Rightarrow \begin{cases} \psi^+ = C^+ e^{-i\omega_L t/2} \\ \psi^- = C^- e^{i\omega_L t/2} \end{cases}$$

³⁶ $\gamma_e = 1,760\,859\,627\,84(55) \times 10^{11} \text{ s}^{-1} \cdot \text{T}^{-1}$ – CODATA (2022).

cuja solução geral é

$$\psi(t) = \begin{pmatrix} C^+ e^{-i\omega_L t/2} \\ C^- e^{i\omega_L t/2} \end{pmatrix}$$

Considerando que o campo magnético interno no aparato de Stern-Gerlach é ortogonal ao campo magnético uniforme, na direção x , e o feixe selecionado corresponde ao autovalor positivo do *spin*, o estado inicial do elétron é o autovetor χ_x^+ da componente S_x , ou seja,

$$\psi(0) = \chi_x^+ = \frac{1}{\sqrt{2}} \begin{pmatrix} 1 \\ 1 \end{pmatrix} \Rightarrow C^+ = C^- = \frac{1}{\sqrt{2}}$$

implica

$$\psi(t) = \frac{1}{\sqrt{2}} \begin{pmatrix} e^{-i\omega_L t/2} \\ e^{i\omega_L t/2} \end{pmatrix}$$

Assim, o estado final do elétron não está associado a uma componente específica do *spin*, sendo uma superposição dos autovetores de qualquer das componentes S_x , S_y e S_z , e as probabilidades associadas aos respectivos autovalores são, respectivamente,³⁷

$$\begin{cases} \left. \begin{aligned} P(\hbar/2)_x &= |\chi_x^{\dagger} \psi(t)|^2 \\ &= \left| \frac{1}{2} (1 \ 1) \begin{pmatrix} e^{-i\omega_L t/2} \\ e^{i\omega_L t/2} \end{pmatrix} \right|^2 \\ &= \left| \frac{e^{-i\omega_L t/2} + e^{i\omega_L t/2}}{2} \right|^2 = \cos^2 \frac{\omega_L t}{2} \\ P(-\hbar/2)_x &= 1 - P(\hbar/2)_x = \sin^2 \frac{\omega_L t}{2} \end{aligned} \right\} \\ \left. \begin{aligned} P(\hbar/2)_y &= |\chi_y^{\dagger} \psi(t)|^2 \\ &= \left| \frac{1}{2} (1 \ -i) \begin{pmatrix} e^{-i\omega_L t/2} \\ e^{i\omega_L t/2} \end{pmatrix} \right|^2 \\ &= \left| \frac{e^{-i\omega_L t} - i e^{i\omega_L t/2}}{2} \right|^2 = \frac{1 + \sin 2\omega_L t/2}{2} \\ P(-\hbar/2)_y &= 1 - P(\hbar/2)_y = \frac{1 - \sin 2\omega_L t/2}{2} \end{aligned} \right\} \\ \left. \begin{aligned} P(\hbar/2)_z &= |\chi_z^{\dagger} \psi(t)|^2 \\ &= \left| \frac{1}{\sqrt{2}} (1 \ 0) \begin{pmatrix} e^{-i\omega_L t/2} \\ e^{i\omega_L t/2} \end{pmatrix} \right|^2 \\ &= \frac{1}{2} |e^{-i\omega_L t/2}|^2 = \frac{1}{2} \\ P(-\hbar/2)_z &= 1 - P(\hbar/2)_z = \frac{1}{2} \end{aligned} \right\} \end{cases}$$

³⁷ Nesse caso, o produto escalar é dado pelo produto $(\chi^{\dagger} \psi)$.

Desse modo, os respectivos valores médios de S_x , S_y e S_z variam no tempo como

$$\left\{ \begin{array}{l} \langle S_x \rangle = P(\hbar/2)_x \left(\frac{\hbar}{2} \right) + P(-\hbar/2)_x \left(-\frac{\hbar}{2} \right) \\ \quad = \frac{\hbar}{2} \left(\cos^2 \frac{\omega_L t}{2} - \sin^2 \frac{\omega_L t}{2} \right) \\ \quad = \frac{\hbar}{2} \cos \omega_L t \\ \\ \langle S_y \rangle = P(\hbar/2)_y \left(\frac{\hbar}{2} \right) + P(-\hbar/2)_y \left(-\frac{\hbar}{2} \right) \\ \quad = \frac{\hbar}{2} \left(\frac{1 + \sin \omega_L t}{2} - \frac{1 - \sin \omega_L t}{2} \right) \\ \quad = \frac{\hbar}{2} \sin \omega_L t \\ \\ \langle S_z \rangle = P(\hbar/2)_z \left(\frac{\hbar}{2} \right) + P(-\hbar/2)_z \left(-\frac{\hbar}{2} \right) = 0 \end{array} \right.$$

De maneira similar ao caso do momento magnético clássico (Apêndice A), se o estado inicial não for um autovetor da componente do *spin* na direção do campo, os valores médios do momento magnético de *spin* oscilam com a frequência de Larmor nas direções perpendiculares ao campo, enquanto na direção do campo ou é nulo ou se mantém constante.

De acordo com o valor da razão giromagnética do elétron ($\gamma_e \simeq 10^{11} \text{ s}^{-1} \cdot \text{T}^{-1}$), a frequência de Larmor (ν_L) para feixes submetidos a campos magnéticos típicos, entre 0,3 T – 0,7 T, é da ordem de 10 GHz. Assim, com campos magnéticos não estacionários, na faixa de microondas, superpostos ao campo magnético uniforme, e bem menos intensos, da ordem de 10^{-3} T, pode-se induzir a chamada *ressonância de spin do elétron* (cuja sigla em inglês é ESR), variando-se a frequência até coincidir com a frequência de Larmor. Por ressonância, a razão giromagnética, o fator g e o momento magnético, podem ser determinados com precisão muito maior do que pelo método de deflexão utilizado no experimento de Stern-Gerlach. No domínio nuclear, a técnica de ressonância de *spin* se revelou de grande utilidade na Medicina, como será visto na próxima seção.

8.2 O *spin* na formulação relativística: a equação de Dirac

A existência do spin, portanto, não é um efeito relativístico, como frequentemente se afirma, mas sim uma consequência da linearização das equações de onda. Isso pode ser expresso filosoficamente da seguinte forma: obviamente, o bom Deus escreveu as equações de campo em forma linearizada, ou seja, no caso não relativístico, como um sistema de duas equações diferenciais acopladas de primeira ordem, e então acoplou o campo eletromagnético minimamente. Ele não as escreveu como uma equação diferencial de segunda ordem (a equação de Schrödinger).

Walter Greiner

Com a inclusão do *spin* do elétron na formulação não relativística da Mecânica Quântica, além dos efeitos Zeeman (normal e anômalo), a estrutura fina é explicada a partir da interação dos momentos magnéticos orbital e de *spin* do elétron, e se compreende que a complexidade dos multipletos resulta, principalmente, da composição dos momentos angulares orbital e de *spin* dos elétrons nos átomos. No entanto, por princípio, as formulações de Heisenberg e Schrödinger não seriam válidas, uma vez que a Relatividade Restrita de Einstein tinha solucionado o problema da invariância das leis do Eletromagnetismo em mudanças de referenciais inerciais, mostrando que as equações de Maxwell eram covariantes com relação às transformações de Lorentz e, a partir de então, a invariância de Lorentz passou a ser um critério para a aceitação de uma teoria fundamental da Física.

A equação covariante da Mecânica Quântica da partícula, segundo as transformações de Lorentz – a *equação de Dirac* –, a qual determina o comportamento do elétron sob a ação de um campo eletromagnético, descrito pelo potencial quadridimensional $(A_\mu) = (A_0, A_1, A_2, A_3) = (\phi/c, A_x, A_y, A_z)$, em uma região do espaço-tempo cujas coordenadas são $(x_\mu) = (x_0, x_1, x_2, x_3) = (ct, x, y, z)$, foi obtida por Dirac [37], em 1928, e pode ser escrita como

$$\left(\sum_{\mu} \gamma_{\mu} p_{\mu} - m c \right) \Psi(x_{\mu}) = -e \sum_{\mu} \gamma_{\mu} A_{\mu}(x) \Psi(x_{\mu})$$

em que $(\mu = 0, 1, 2, 3)$, $(p_\mu) = (p_0, p_1, p_2, p_3) = i\hbar(\partial_{x_0}, -\partial_{x_1}, -\partial_{x_2}, -\partial_{x_3})$ é o operador *quadrimento*, e as matrizes (4×4) , $(\gamma_\mu) = (\gamma_0, \gamma_1, \gamma_2, \gamma_3)$ são expressas em blocos, em termos das matrizes de Pauli, como

$$\gamma_0 = \begin{pmatrix} I_2 & 0 \\ 0 & -I_2 \end{pmatrix}, \quad \gamma_k = \begin{pmatrix} 0 & \sigma_k \\ -\sigma_k & 0 \end{pmatrix}$$

sendo $(k = 1, 2, 3)$, $(\sigma_1 = \sigma_x, \sigma_2 = \sigma_y, \sigma_3 = \sigma_z)$, I_2 a matriz identidade (2×2) , e $\sum_{\mu} \gamma_\mu p_\mu = \gamma_0 p_0 - \sum_k \gamma_k p_k = \gamma_0 p_0 - \vec{\gamma} \cdot \vec{p}$.

Na formulação relativística de Dirac, a função de onda (Ψ) é um campo espinorial de ordem 1, representado por uma matriz (4×1) , e o operador de *spin* (\vec{S}) é o gerador da representação espinorial quadri-dimensional do grupo das rotações, representado pela matriz (4×4) ,

$$\vec{S} = \frac{\hbar}{2} \begin{pmatrix} \vec{\sigma} & 0 \\ 0 & \vec{\sigma} \end{pmatrix}$$

em que $\vec{\sigma}$ é o operador de Pauli.

Um dos grandes triunfos iniciais da teoria de Dirac foi mostrar que o valor correto para o momento magnético intrínseco do elétron era dado pela relação proposta por Goudsmit e Uhlenbeck, equação (5), e adotada por Pauli, sem a necessidade de hipóteses *ad hoc* (Apêndice B). Por um longo tempo, devido ao argumento de Thomas e à dedução de Dirac, o *spin* do elétron foi considerado como um fenômeno de origem relativística, embora houvesse exceções proeminentes, como a de Richard Feynman [38], em 1961, como atesta Jun Sakurai [11]

Historicamente, tudo isso foi obtido primeiro a partir do limite não relativístico da teoria de Dirac (...). Por essa razão, a maioria dos livros didáticos afirma que a relação $g = 2$ é uma consequência da teoria de Dirac. Vimos, no entanto, que a relação $g = 2$ segue naturalmente da teoria não relativística de Schrödinger-Pauli se começarmos com o operador de energia cinética $H = (\vec{\sigma} \cdot \vec{p})^2 / 2m$. Este ponto foi enfatizado particularmente por R. P. Feynman.

Em 1967, Lévy-Leblond [39] mostra que tanto o *spin* como o momento magnético podem ser

igualmente obtidos a partir de uma abordagem não relativística, e não apenas como limite não relativístico da equação de Dirac. Abordando o problema de forma análoga à Dirac, procurando uma expressão linear no momentum e na energia, ele obtém uma equação covariante em relação às transformações de Galileu – a equação de Lévy-Leblond –, na qual as derivadas parciais espaço-temporais são de primeira ordem, que incorpora o *spin* do elétron.

$$\begin{pmatrix} i\hbar \frac{\partial}{\partial t} & -c(\vec{\sigma} \cdot \vec{p}) \\ c(\vec{\sigma} \cdot \vec{p}) & -2mc^2 \end{pmatrix} \begin{pmatrix} \psi^+ \\ \psi^- \end{pmatrix} = 0 \quad (6)$$

A partir do chamado acoplamento mínimo,³⁸ obtém-se a *equação de Pauli*, a qual descreve o comportamento do elétron em um campo eletromagnético, com a relação correta de Goudsmit e Uhlenbeck para o momento magnético.

9 O *spin* 1/2 como propriedade intrínseca dos férmions elementares

A existência do spin e as estatísticas associadas a ele são o projeto mais sutil e engenhoso da Natureza – sem ele, todo o universo entraria em colapso.

Takeshi Oka

Uma vez estabelecido o *spin* do elétron, naturalmente, atribuiu-se também ao próton, tido na época como uma partícula elementar, um momento angular de *spin* 1/2, como o elétron, e um momento magnético (μ_p) da ordem de 1 800 vezes menor,

$$(\mu_p)_{\text{esperado}} = \frac{\mu_e}{1837} = \frac{e\hbar}{2m_p} = \mu_N$$

em que m_p é a massa do próton, e μ_N é o chamado *magneton nuclear*.

³⁸ O acoplamento mínimo consiste em substituir o operador de *momentum* na expressão $\vec{\sigma} \cdot \vec{p}$ por $(\vec{p} + e\vec{A})$, em que \vec{A} é o potencial vetorial, e o operador $i\hbar \frac{\partial}{\partial t}$ por $(i\hbar \frac{\partial}{\partial t} + e\phi)$, sendo ϕ o potencial escalar.

Em 1927, David M. Denison [40] mostra que o valor de *spin* 1/2 para o próton era compatível com os experimentos que determinaram a variação com a temperatura do calor específico da molécula de hidrogênio, a volume constante.

Por volta dos anos de 1930, a Física já era um ramo da Ciência que havia se estendido para um grande número de países fora da Europa. Apesar da aceitação da comunidade científica de que o momento magnético do próton era igual ao magneton nuclear, Otto Stern, Otto Frisch e Immanuel Estermann [41, 42], em 1933, a partir da deflexão de feixes moleculares de hidrogênio em campos magnéticos, estimam o valor do momento magnético do próton acima do esperado,

$$\mu_p \simeq 2,5 \mu_N$$

ou seja, apenas cerca de 1 000 vezes menor que o do elétron, indicando que o próton não seria uma partícula sem estrutura como o elétron; uma partícula de Dirac.

Um valor diferente, da ordem de $3,25 \mu_N$, também acima do valor esperado, foi obtido por Isidor Rabi, J. Kellogg e J. Zacharias [43], em 1934, na Universidade de Columbia, também a partir da deflexão de feixes moleculares de hidrogênio. Como o nêutron, descoberto em 1932, não tinha carga elétrica, em princípio, não teria *spin* nem momento magnético intrínseco. No entanto, ao determinarem o *spin* e o momento magnético do dêuteron [44], da ordem de $0,77 \mu_N$, e considerando a aditividade dos momentos magnéticos do próton e do nêutron, inferem que o nêutron, apesar da carga nula, mas sendo também uma partícula elementar, teria *spin* 1/2, e um momento magnético da ordem de $\pm 2,5 \mu_N$.³⁹

Entre 1937 e 1938, desenvolve-se uma importante técnica associada às propriedades do *spin* dos núcleos. Neste período, Rabi e colaboradores [45, 46, 47] demonstraram experi-

³⁹ Nessa época, não se sabia se os fatores g do próton e do deuteron eram positivos ou negativos. A proposta do *spin* nuclear, uma ideia já cogitada também por Pauli, foi feita por Goudsmit e Ernst Beck, em 1927, devido a uma *estrutura hiperfina* observada no espectro do bismuto. No entanto, devido ao pequeníssimo desdobramento das linhas espectrais, as incertezas nas determinações espectrocópicas eram grandes, ao contrário do método de Stern, de deflexão de feixes moleculares e, posteriormente, do método de ressonância de Rabi.

mentalmente que um campo magnético oscilante poderia induzir transições entre níveis associados ao estado de *spin* de vários núcleos em um campo magnético estático aplicado. Este trabalho pioneiro foi realizado em feixes moleculares, utilizando um método de seleção e detecção do estado de *spin* nuclear semelhante ao desenvolvido na década de 1920, por Stern e Gerlach. Surge, assim, o método de *ressonância magnética nuclear* (NMR) [48]. A partir da extração de núcleos de feixes moleculares, o grupo de Rabi determina, propriamente, o momento magnético do próton e de vários núcleos. Apesar da necessidade de campos magnéticos mais intensos do que os utilizados na ressonância de *spin* eletrônico, da ordem de 10 T, a frequência de ressonância de Larmor para a ressonância de *spin* nuclear é bem menor, da ordem de 10^7 Hz, na faixa de rádio-frequência. Enquanto a ressonância de *spin* eletrônico é adequada, principalmente, para o estudo de substâncias paramagnéticas, em que as moléculas possuem uma configuração na qual os elétrons estão desemparelhados, para a maioria das substâncias esse não é o caso. A ressonância de *spin* nuclear, no entanto, permite a determinação da estrutura de uma ampla variedade de substâncias, tanto orgânicas como cristalinas. A partir de então, Edward Purcell e Felix Bloch desenvolvem novos métodos de medição do magnetismo nuclear, que permitiram o desenvolvimento de técnicas apuradas de obtenção de imagens, hoje essenciais na Medicina, a partir da ressonância nuclear magnética [49].

Em 1940, com feixes de nêutrons obtidos a partir do Cíclotron da Universidade da Califórnia, em Berkeley, e utilizando também técnicas de ressonância, Luiz Alvarez e Felix Bloch [50] obtêm medidas diretas do *spin* 1/2 e do momento magnético do nêutron, sem a ambiguidade do sinal. Os valores atuais dos momentos magnéticos do próton e do nêutron são:⁴⁰

$$\mu_p \simeq 2,793 \mu_N \quad \text{e} \quad \mu_n \simeq -1,913 \mu_N$$

Durante os anos de 1950, com o início da era dos grandes aceleradores de partículas, o número de partículas subatômicas e das respectivas antipartículas aumenta consideravelmente.

⁴⁰ Esses valores correspondem à metade dos valores dos respectivos fatores g , $g_p = 5,585\,694\,689\,3(16)$ e $g_n = -3,826\,085\,52(90)$ – CODATA (2022).

A primeira, a antipartícula do elétron, o pósitron, foi prevista em 1930 por Dirac [51], e descoberta em 1932 por Carl Anderson [52] em observações de raios cósmicos. Em seguida, logo se descobre que para cada partícula existe uma respectiva antipartícula. Em 1960, o número de partículas e antipartículas subatômicas já era da ordem de centenas, em número maior que o número de átomos da Tabela Periódica. E todas tinham momento angular intrínseco, ou seja, *spin*, mas não só de valor 1/2, algumas com valores inteiros (0, 1, 2, ...), e outras com outros valores semi-inteiros (3/2, 5/2, ...). Além disso, o *spin* resultante de outras partículas compostas como núcleos, átomos e moléculas poderia ter valores inteiros ou semi-inteiros. Com base no valor do *spin* as partículas são classificadas em duas categorias:

- *férmions*: partículas de *spin* semi-inteiro, – como elétrons, prótons e nêutrons;
- *bósons*: partículas de *spin* inteiro, – como átomos de ${}^4\text{He}$, partículas α e dêuterons.

Coletivamente, os gases ideais de férmions estáveis e não relativísticos obedecem à distribuição de Fermi-Dirac [53, 54], e os de bósons massivos e não relativísticos, à distribuição de Bose-Einstein [55].

A compreensão dos valores de *spin* 1/2 e dos momentos magnéticos do próton e do nêutron só foi esclarecida com base em modelos estáticos de constituintes, formulados em 1964, independentemente, por Murray Gell-Mann [56] e George Zweig [57], segundo os quais era possível classificar os *hádrons*⁴¹ até então conhecidos, embora suas premissas e os constituintes elementares postulados fossem diferentes. Segundo o modelo de *quarks* de Gell-Mann, que prevaleceu, tanto o próton (*p*) como o nêutron (*n*) são constituídos por dois tipos de partículas elementares de *spin* 1/2: o *quark u* de carga elétrica $\frac{2}{3}e$, e o *quark d* de carga elétrica $-\frac{1}{3}e$, segundo os arranjos de três *quarks*, $p(uud)$ e $n(udd)$.⁴²

⁴¹ Os *hádrons* são partículas subatômicas, como os prótons e os nêutrons, que estão sujeitas às interações fortes, devido ao seu conteúdo quarkônico. São divididos em *bárions* – férmions compostos de três *quarks* – e *mésons* – bósons compostos de dois *quarks*.

⁴² No modelo inicial de classificação dos *hádrons* só haviam três tipos, ou sabores, de *quarks*; – *up* (*u*), *down* (*d*)

A partir da composição dos *spins* 1/2 dessas *quarks*, a razão obtida entre os momentos magnéticos [13],

$$\left(\frac{\mu_n}{\mu_p} \right)_{\text{teor}} = -\frac{2}{3} \simeq 0,67$$

comparada com o valor experimental da época,

$$\left(\frac{\mu_n}{\mu_p} \right)_{\text{exp}} = -\frac{2}{3} \simeq 0,68$$

foi fundamental para o sucesso do modelo.

A ampla aceitação do modelo dos *quarks* acontece após o experimento de espalhamento de elétrons por prótons, em 1969, no acelerador linear de Stanford (SLAC), por grupos do MIT⁴³ e do SLAC, e uma série de outros experimentos nos anos de 1970, em particular o espalhamento de neutrinos por núcleons (prótons ou nêutrons).

Após a consolidação do Modelo Padrão da Física de Partículas, nos anos de 1970, o *spin* 1/2 é reconhecido como uma propriedade intrínseca atribuída aos férmions elementares; os léptons e *quarks* – os constituintes fundamentais da matéria (Tabela 1).⁴⁴

Em princípio, o *spin* das partículas subatômicas não elementares – os *hádrons* –, resultaria da composição de seus *quarks* constituintes. No entanto, o experimento de espalhamento de múons por prótons [58], realizado no CERN,⁴⁵ em 1987, mostrou que a contribuição do *quarks* para o *spin* do próton era muito menor que o esperado. Esse resultado e outros similares, obtidos posteriormente, conhecidos como “a crise do *spin* do próton”, ainda permanecem como

e *strange* (*s*). No entanto, a descoberta de novos *hádrons* e argumentos teóricos associados às interações fracas levaram à introdução de mais três sabores; – *charm* (*c*), *bottom* (*b*) e *top* (*t*) –, e a hipótese de mais uma simetria fundamental da natureza, associada a uma nova propriedade dos *quarks*, a *cor*.

⁴³ Instituto de Tecnologia de Massachusetts.

⁴⁴ Além dos férmions elementares e de suas respectivas antipartículas, o Modelo Padrão contém os bósons de *spin* 1, mediadores das interações fundamentais: o fóton – mediador da interação eletromagnética; o W^+ , o W^- e o Z – mediadores das interações fracas; oito tipos de glúons – mediadores das interações fortes, e o bóson de Higgs, de *spin* 0. No domínio subatômico, a interação gravitacional não é levada em conta.

⁴⁵ Laboratório Europeu de Física de Partículas, em Genebra, Suíça.

Tabela 1: Os férmions elementares do Modelo Padrão (*spin* 1/2)

| léptons | carga(<i>e</i>) | massa (Mev/c ²) |
|---------------------------------|-------------------|-----------------------------|
| neutrino do elétron (ν_e) | 0 | $< 10^{-6}$ |
| elétron (<i>e</i>) | -1 | 0,511 |
| neutrino do múon (ν_μ) | 0 | $< 10^{-6}$ |
| múon (μ) | -1 | 105,7 |
| neutrino do tau (ν_τ) | 0 | $< 10^{-6}$ |
| tau (τ) | -1 | 1 776,9 |
| <i>quarks</i> | carga(<i>e</i>) | massa (Gev/c ²) |
| <i>up</i> (<i>u</i>) | 2/3 | $2,16 \times 10^{-3}$ |
| <i>down</i> (<i>d</i>) | -1/3 | $4,70 \times 10^{-3}$ |
| <i>charm</i> (<i>c</i>) | 2/3 | 1,27 |
| <i>strange</i> (<i>s</i>) | -1/3 | $93,5 \times 10^{-3}$ |
| <i>top</i> (<i>t</i>) | 2/3 | 172,6 |
| <i>bottom</i> (<i>b</i>) | -1/3 | 4,18 |

um dos problemas não explicados pela Física Teórica.

Do mesmo modo que os experimentos de espalhamentos de elétrons por prótons mostraram que os *quarks* são responsáveis por apenas cerca de 50% do *momentum* do próton, sendo o restante atribuído aos glúons, uma parte dos pesquisadores consideram que os glúons sejam responsáveis também por uma grande parcela do *spin*. Ainda há outros que consideram que uma grande parcela deve-se ao momento angular orbital dos *quarks* no interior do próton [59].

10 Considerações finais

Para além das novas possibilidades experimentais e teóricas abertas a partir da descoberta do *spin*, como foi discutido ao longo do artigo, cabe, por fim, destacar seu papel na afirmação do atomismo. De fato, do ponto de vista epistemológico, a força da concepção atomística da matéria e seu papel basilar na construção do pensamento científico moderno pode ser inferida a partir do seguinte comentário de Feynman:

Se, em algum cataclismo, todo o conhecimento científico fosse destruído e somente uma sentença fosse transmitida

para as próximas gerações de criaturas, que enunciado conteria mais informação em menos palavras? Acredito que seja a hipótese atômica [...] de que todas as coisas são feitas de átomos [...]. Nessa única sentença, você verá, existe uma enorme quantidade de informações sobre o Mundo.

Talvez o maior ícone dessa conquista seja a Tabela Periódica de Mendeleiev, expressão inegável de uma grande síntese resultante da acumulação de observações de regularidades físico-químicas macroscópicas associadas aos elementos fundamentais (os átomos) da Natureza, reflexos de uma simetria maior, ainda escondida à época do químico e físico russo. A partir da descoberta do elétron, coube à Física prover modelos atômicos que, gradativamente, contribuíam para elucidar a origem dessa fantástica simetria, até que se chegou a uma nova teoria para o microcosmo – a *Mecânica Quântica*. Em particular, a chave para a resposta a essa indagação foi a introdução do conceito de *spin*, o qual passa a ser efetivamente compreendido no âmbito dessa nova teoria torna-se essencial para se compreender a realidade e as ligações químicas, determinando quantos elétrons podem ser compartilhados numa ligação. A própria distribuição eletrônica de qualquer átomo é ditada pelo *princípio de exclusão de Pauli*.

Tem-se, então, um quadro teórico coerente no qual o *princípio de exclusão* e a antissimetria da função de ondas de dois férmions coexistem. É um equívoco afirmar que o princípio de Pauli pode ser provado teoricamente a partir da imposição dessa antissimetria. Trata-se apenas da troca de uma hipótese por outra. Se assim não fosse, não faria mais sentido continuar usando o termo “princípio”.

Por outro lado, o *spin* traz consigo uma novidade sem paralelo na Física Clássica. É a ideia de que as partículas se caracterizam, principalmente, pela natureza de seu *spin*, em dois grandes grupos: bósons e férmions. Conforme foi recordado, Dirac havia estabelecido, em 1926, que a função de onda de um sistema de duas partículas deve ser simétrica pela troca das partículas, no caso de bósons, e antissimétrica, no caso de férmions. Além disso, uma partícula de *spin* 0 é descrita por um campo escalar, uma de *spin* 1/2, por um campo espinorial, enquanto

outra de *spin* 1, por um campo vetorial. Desse modo, todas as reações e decaimentos em Física de Partículas dependem, em última análise, dos valores dos spins das partículas envolvidas. Como consequência, uma série de regras de seleção se impõe devido ao *spin* e à conservação do momento angular total.

Por fim, deve-se destacar a relevância do papel do *spin* em testes mais precisos do Modelo Padrão, em processos nos quais se procura identificar o estado de todas as partículas que participam de uma colisão ou decaimento em altas energias – os *processos exclusivos*. No entanto, na maioria dos experimentos cujos resultados são compatíveis com as previsões dos cálculos perturbativos da teoria das interações fortes, a *Cromodinâmica Quântica* (QCD), identificam-se apenas uma ou algumas poucas partículas ao final dos chamados *processos inclusivos*. Em um processo inclusivo de colisão hádron-hádron em altas energias, considerando as interações fortes entre os constituintes hadrônicos (*quarks*), a probabilidade associada a um dado estado final, ou a *seção de choque do processo*, é determinada pela *soma incoerente* das seções de choque dos subprocessos elementares entre os *quarks*. Essa soma incoerente resulta de uma média sobre os *momenta* e *spins* de todos os constituintes dos hádrons envolvidos. No caso de um processo exclusivo, antes de se calcular a *seção de choque do processo*, deve-se somar as amplitudes de probabilidade de todos os possíveis subprocessos elementares, que dependem, em último caso, do *spin* das partículas envolvidas. Como consequência, há a manifestação de efeitos de interferência de estados de *spin*. Espera-se, portanto, que a realização de futuros experimentos envolvendo processos exclusivos, além de testes da QCD, em regimes perturbativos, de altas transferências de *quadrimentum*, e não perturbativos, de baixas transferências de *quadrimentum*, possibilite uma melhor compreensão do papel dos glúons na composição dos *spins* dos hádrons.

Além das fontes originais apresentadas no texto, outros tantos aspectos envolvidos na evolução do conceito do *spin*, podem ser encontrados nas referências [60, 61, 62, 63, 64, 65].

A A precessão de Larmor

Segundo o Eletromagnetismo Clássico, o momento dipolar magnético ($\vec{\mu}$) e o momento angular (\vec{L}) de uma partícula de massa m e carga elétrica q , segundo o mesmo ponto de um referencial inercial, estão relacionados no SI por

$$\vec{\mu} = \frac{q}{2m} \vec{L}$$

ou seja, ambos são colineares, e têm o mesmo sentido se a carga da partícula é positiva, e sentidos contrários, se a carga é negativa.

Se a partícula está sob a ação de uma força central, em movimento circular uniforme, o momento angular é uma constante do movimento, e segundo a origem da força, perpendicular ao plano da órbita (Figura 5).

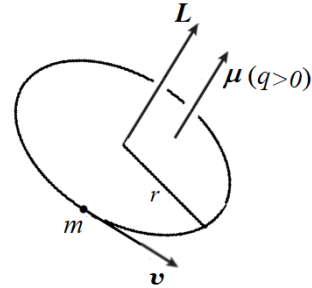


Figura 5: Diagrama destacando algumas grandezas físicas associadas a uma partícula de massa m e carga elétrica q em movimento circular uniforme.

Se a partícula sofre também a ação de um campo magnético uniforme (\vec{B}), estará sujeita igualmente a um torque dado por $\vec{\mu} \times \vec{B}$, o qual, segundo a Mecânica Clássica, é igual a variação temporal do momento angular,

$$\frac{d\vec{L}}{dt} = \vec{\mu} \times \vec{B} = \left(\frac{q}{2m}\right) \vec{L} \times \vec{B} \quad (7)$$

A equação (7) indica que apenas a direção do momento angular é alterada, a magnitude e o ângulo (θ) que faz com a direção do campo permanecem constantes ao longo do tempo.

Dessa forma, o torque decorrente do campo magnético não causa o alinhamento do momento angular da partícula com o campo. De modo análogo à precessão de um pião no campo gravitacional terrestre, a reta ao longo da direção dos

momentos angular e dipolar gira de um ângulo (φ) em torno do eixo definido pela direção do campo magnético. Nesse contexto, o comportamento é denominado precessão de Larmor e, de acordo com a Figura 6,

$$|d\vec{L}| = (L \sin \theta) d\varphi \Rightarrow \left| \frac{d\vec{L}}{dt} \right| = L \sin \theta \frac{d\varphi}{dt} \quad (8)$$

a variação temporal do ângulo φ , denominada frequência de Larmor (ω_L), é dada por

$$\frac{d\varphi}{dt} = \omega_L = \left(\frac{|q|}{2m} \right) B = \gamma B$$

em que $\gamma = \frac{|q|}{2m}$ é a *razão giromagnética* da partícula.

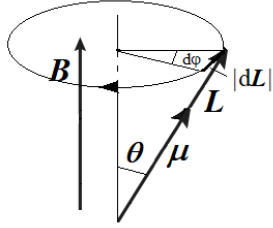


Figura 6: Precessão de Larmor.

Segundo a equação (8), independentemente da orientação do plano da órbita com relação ao campo, enquanto a componente do momento angular perpendicular ao campo gira em movimento circular uniforme com a frequência de Larmor, a componente na direção do campo se mantém constante.

Para um sistema de coordenadas cartesianas (x, y, z), e um campo magnético no sentido positivo da direção z (Figura 7), as componentes L_x e L_y do momento oscilam no plano xy , respectivamente, ao longo das direções x e y , enquanto a componente L_z é constante, e $L \sin \theta = L_\perp$ gira com velocidade angular ω_L . Com uma escolha conveniente das condições iniciais, pode-se escrever

$$\begin{cases} L_x = (L \sin \theta) \sin \omega_L t \\ L_y = (L \sin \theta) \cos \omega_L t \\ L_z = (L \cos \theta) \end{cases}$$

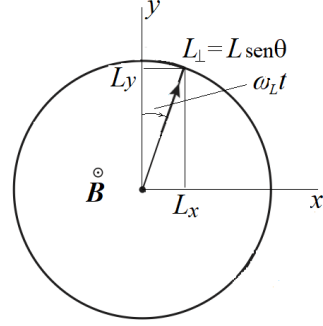


Figura 7: Diagrama das oscilações das componentes do momento angular no plano xy , perpendicular ao campo magnético.

Quaisquer que sejam as condições iniciais, se o momento angular da partícula não tem a mesma direção do campo magnético aplicado, suas componentes no plano perpendicular ao campo oscilam com a frequência de Larmor.

B O momento magnético do elétron

A equação de Dirac pode ser escrita como

$$\sum_{\mu} \gamma_{\mu} (p_{\mu} + e A_{\mu}) \Psi = m c \Psi$$

$$\left[\gamma_0 (p_0 + e A_0) - \vec{\gamma} \cdot (\vec{p} + e \vec{A}) \right] \Psi = m c \Psi$$

ou, na forma matricial, como⁴⁶

$$\begin{pmatrix} (p_0 c + e \phi) & -c \vec{\sigma} \cdot (\vec{p} + e \vec{A}) \\ c \vec{\sigma} \cdot (\vec{p} + e \vec{A}) & -(p_0 c + e \phi) r \end{pmatrix} \begin{pmatrix} \psi_A \\ \psi_B \end{pmatrix} = \begin{pmatrix} m c^2 & 0 \\ 0 & m c^2 \end{pmatrix} \begin{pmatrix} \psi_A \\ \psi_B \end{pmatrix}$$

Explicitando as equações, obtém-se

$$\begin{cases} (p_0 c + e \phi) \psi_A - c \vec{\sigma} \cdot (\vec{p} + e \vec{A}) \psi_B = m c^2 \psi_A \\ c \vec{\sigma} \cdot (\vec{p} + e \vec{A}) \psi_A - (p_0 c + e \phi) \psi_B = m c^2 \psi_B \end{cases}$$

No limite não relativístico e de campo fraco, $\psi \sim e^{-imc^2 t/\hbar}$ e $p_0 c \psi \approx m c^2 \psi$, pode-se ainda

⁴⁶ Ψ , o chamado *espinor de Dirac*, é, comumente, expresso em termos dos espinores de Pauli, ψ_A e ψ_B .

reescrever as duas últimas equações, na ordem inversa, como

$$\psi_B = \frac{1}{2mc} \vec{\sigma} \cdot (\vec{p} + e\vec{A}) \psi_A \quad (9)$$

e

$$\left\{ (p_0 c + e\phi) - \frac{1}{2m} \left[\vec{\sigma} \cdot (\vec{p} + e\vec{A}) \right]^2 \right\} \psi_A = mc^2 \psi_A \quad (10)$$

Levando-se em conta as seguintes relações [8, 9]:

$$\begin{cases} (\vec{\sigma} \cdot \vec{a}) (\vec{\sigma} \cdot \vec{b}) = (\vec{a} \cdot \vec{b}) + i \vec{\sigma} \cdot (\vec{a} \times \vec{b}) \\ i \vec{\sigma} \cdot (\vec{p} \times \vec{A} + \vec{A} \times \vec{p}) = \hbar \vec{\sigma} \cdot (\vec{\nabla} \times \vec{A}) = \hbar \vec{\sigma} \cdot \vec{B} \end{cases}$$

em que $\vec{p} = -i\hbar\vec{\nabla}$ e $\vec{\nabla} \times \vec{A} = \vec{B}$, o termo quadrático torna-se

$$\left\{ \begin{aligned} & \left[\vec{\sigma} \cdot (\vec{p} + e\vec{A}) \right]^2 = \underbrace{(\vec{\sigma} \cdot \vec{p})^2}_{p^2} + \\ & + e \left[\underbrace{(\vec{\sigma} \cdot \vec{p}) (\vec{\sigma} \cdot \vec{A}) + (\vec{\sigma} \cdot \vec{A}) (\vec{\sigma} \cdot \vec{p})}_{(\vec{p} \cdot \vec{A} + \vec{A} \cdot \vec{p}) + \hbar \vec{\sigma} \cdot \vec{B}} \right] + \\ & + e^2 \underbrace{(\vec{\sigma} \cdot \vec{A})^2}_{A^2} \end{aligned} \right.$$

Uma vez que mc^2 é uma constante, e o fator $1/c$ na equação (9) indica que a componente ψ_B pode ser desprezada face à componente ψ_A , no limite não relativístico, a equação que descreve o comportamento do elétron sob a ação de um campo eletromagnético é dada pela chamada *equação de Pauli* [36]:

$$i\hbar \frac{\partial}{\partial t} \psi = \left[\frac{1}{2m} (\vec{p} + e\vec{A})^2 - e\phi + \left(\frac{e\hbar}{2m} \right) \vec{\sigma} \cdot \vec{B} \right] \psi$$

Identificando o termo de energia em um campo magnético,

$$-\vec{\mu} \cdot \vec{B} = \underbrace{\left(\frac{e\hbar}{2m} \right)}_{\mu_B} \vec{\sigma} \cdot \vec{B}$$

obtém-se a relação de Goudsmit e Uhlenbeck para o momento magnético do elétron,

$$\vec{\mu} = -\mu_B \vec{\sigma} = g_e \left(\frac{e}{2m} \right) \vec{S} \quad (g_e = -2)$$

Referências bibliográficas

[1] P. Zeeman, Phil. Mag. **44**, p. 55-66 e 255-259 (1897).

[2] T. Preston, Sci. Trans. R. Dublin Soc. 2nd series **6**, p. 385-391 (1898).

[3] J. Larmor, Phil. Mag. S. 5, **44**, p. 503-512 (1897).

[4] T. Arabatzis, The Zeeman Effect and the Discovery of the Electron, *in Histories of the Electron*, MIT Press (2001).

[5] E. Rutherford, Phil. Mag. **21**, p. 669-688 (1911).

[6] N. Bohr, *Sobre a constituição de átomos e moléculas*. Fund. Cal. Gulbenkian (1969).

[7] A. Sommerfeld, Ann. d. Phys. **51**, n. 17, p. 1-94 (1916).

[8] J. Sakurai, J. Napolitano, *Mecânica quântica moderna*, Bookman (2013).

[9] F. Caruso, V. Oguri, *Física moderna: origens clássicas e fundamentos quânticos*, LTC (2016).

[10] Y. Granovskii, Usp. Fiz. Nauk **47** (5), p. 523-524 (2004).

[11] J. Sakurai, *Advanced Quantum Mechanics*. Addison-Wesley (1967).

[12] F. Halzen, A.D. Martin. *Quarks & Leptons: An Introductory Course in Modern Particle Physics*. Wiley & Sons (1984).

[13] M. Anselmino, F. Caruso, J. Mahon, V. Oguri, *Introdução à QCD perturbativa*. LTC (2012).

[14] A. Sommerfeld, Phys. Zeit. **17**, p. 491-507 (1916).

[15] O. Stern, W. Gerlach, Zeit. f. Phys. **9**, p. 349-355 (1922).

[16] T. Phipps, J. Taylor. Phys. Rev. **29**(2), p. 309-320 (1927).

[17] S. Tomonaga. *The Story of Spin*. Univ. Chicago Press (1997).

[18] W. Pauli, Science. **103** (2669), p. 213-215 (1946).

[19] *Idem*, Zeit. f. Phys. **31** (1), p. 765-783 (1925).

[20] G. Uhlenbeck, S. Goudsmit, Naturwiss. **47**, p. 953-954 (1925).

[21] *Idem*, Nature **117**, p. 264 (1926).

- [22] S. Goudsmit, Phys. Today **29** (6), p. 40-43 (1976).
- [23] G. Uhlenbeck, *Ibidem*, p. 43-48 (1976).
- [24] F. Caruso, V. Oguri, *Ciência e Sociedade* v. **11**, n. 1, p. 1-8, CBPF (2025).
- [25] L. Thomas, Nature **117**, p. 514 (1926).
- [26] W. Heisenberg, Zeit. f. Phys. **33**, p. 879-893 (1925).
- [27] M. Born, W. Heisenberg, P. Jordan, *Ibidem* **35**, p. 557-615 (1926).
- [28] B.L. van der Waerden, *Source of Quantum Mechanics*. Dover (1968).
- [29] L. de Broglie, Ann. de Phys. (10) **3**, 22 (1925).
- [30] E. Schrödinger, *Collected Papers on Wave Mechanics*, Chelsea (1982).
- [31] M. Born, Zeit. f. Phys. **37**, p. 863-867 (1926).
- [32] P. Dirac, Proc. R. Soc. Lond. **A 112**, p. 661-677 (1926).
- [33] E. Fermi, Rend. Lincei **3**, p. 145-149 (1926).
- [34] A. Einstein, Sitz. Phys. Math. **10**, p. 261-267 (1924).
- [35] S. Bose, Zeit. f. Phys. **26**, p. 178-181 (1924).
- [36] W. Pauli, *Ibidem* **43**, p. 601-623 (1927).
- [37] P. Dirac, Proc. R. Soc. Lond. **A 117**, p. 610-624 (1928).
- [38] R. Feynman, *Quantum Electrodynamics*. Addison-Wesley (1961).
- [39] J.-M. Lévy-Leblond, Comm. Math. Phys. **6** (4), p. 286-311 (1967).
- [40] D. Dennison, Proc. R. Soc. Lond. **A 115** (771), p. 483-486 (1927).
- [41] O. Frisch, O. Stern, Zeit. f. Phys. **85**, p. 4-16 (1933).
- [42] O. Stern, I. Estermann, *Ibidem*, p. 17-24 (1933).
- [43] I. Rabi, J. Kellogg, J. Zacharias, Phys. Rev. **46** (3), p. 157-163 (1934).
- [44] *Idem*, *Ibidem*, p. 163-165 (1934).
- [45] I. Rabi, *Ibidem* **51**, p. 652-654 (1937).
- [46] I. Rabi, S. Millman, P. Kusch, J.R. Zacharias, *Ibidem* **53**, p. 318 (1938).
- [47] *Idem*, *Ibidem* **55**, p. 526-535 (1939).
- [48] N. Ramsey, Phys. Today **46** (10), p. 40-43 (1993).
- [49] P.-J. Nacher, Magnetic Resonance Imaging: From Spin Physics to Medical Diagnosis, in *The Spin*, Birkhäuser Verlag (2009).
- [50] L. Alvarez, F. Bloch, Phys. Rev. **57** (2), p. 111-122 (1940).
- [51] P. Dirac, Proc. R. Soc. Lond. **A 126** (801), p. 360-365 (1930).
- [52] C. Anderson, Phys. Rev. **43** (6), p. 491-494 (1933).
- [53] W. Pauli, *Ibidem* **58**, p. 716 (1940).
- [54] *Idem*, Progr. Theor. Phys. **5**, p. 526 (1950).
- [55] F. Caruso, V. Oguri, *Mecânica estatística de sistemas em equilíbrio*. LF (2021).
- [56] M. Gell-Mann, Phys. Lett. **8** (3), p. 214-215 (1964).
- [57] G. Zweig, *CERN reports* **8182/TH-401** (1964).
- [58] J. Ashman *et al.* Phys. Lett. B **206** (2), p. 364-370 (1988).
- [59] E. Leader, M. Anselmino, Z. Phys. C **41**, p. 239-246 (1988).
- [60] W. Greiner, *Quantum Mechanics: An Introduction*, 4. ed., Springer (2001).
- [61] L. Landau, E. Lifshitz. *Mecânica quântica: teoria não relativista*, Física Teórica vol. 3, Editora Mir (1974).
- [62] R. Feynman, R. Leighton, M. Sands, *Lições de Física de Feynman*, v. 1-3, Bookman (2008).
- [63] G. Auletta, M. Fortunato, G. Parisi, *Quantum Mechanics*, Cambridge Univ. Press (2009).
- [64] L. Susskind, A. Friedman, *Quantum Mechanics – what you need to know to start doing physics*. Basic Books (2014).
- [65] L. Fröhlich, Spin, or actually: Spin and Quantum Statistics, in *The Spin*, Birkhäuser Verlag (2009).